

Politechnika Krakowska
Wydział Inżynierii Lądowej
Instytut Mechaniki Budowli
Katedra Wytrzymałości Materiałów

Podstawy teorii wytrzymałości materiałów komórkowych w oparciu o energetyczne kryteria stanów granicznych

Piotr Kordzikowski

Kraków 2006

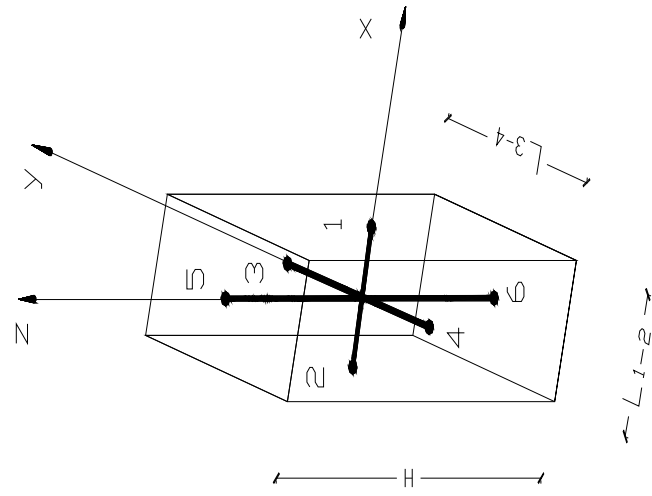
PLAN PREZENTACJI

-2-

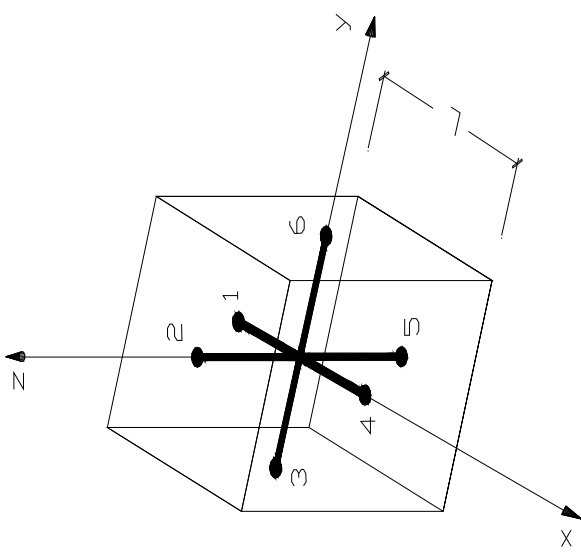
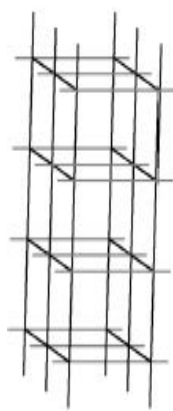
- Przedmiot badań
- Cel pracy
- Aktualne problemy dotyczące zastosowań, wytworzania i modelowania własności mechanicznych materiałów komórkowych na podstawie literatury
- Podstawy teorii spreżystycznych stanów własnych i stanów granicznych materiałów anizotropowych
- Kryteria energetyczne dla materiałów komórkowych
- Analiza rozkładu gęstości energii stanów granicznych
- Porównanie otrzymanych rezultatów z danymi prezentowanymi w literaturze
- Wnioski
- Literatura

PRZEDMIOT BADAŃ

Materiały komórkowe o szkielecie regularnym

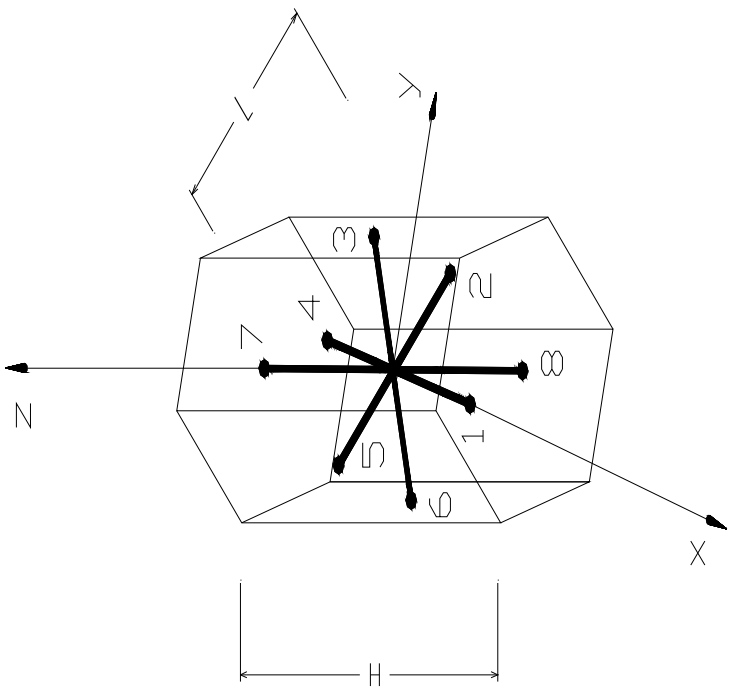


Komórka sześcienna

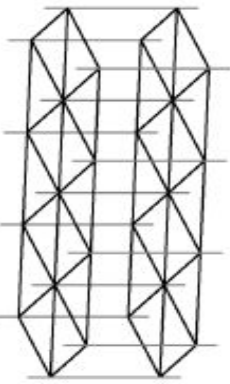


Komórka prostopadłoscienna

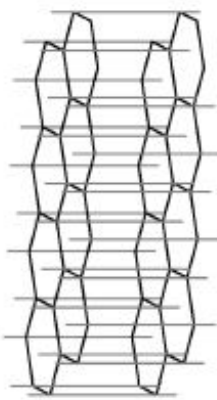
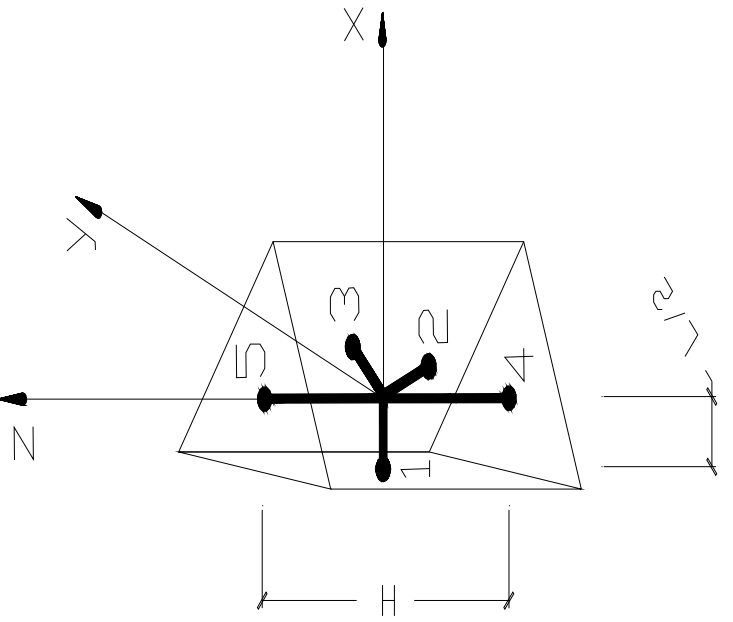
Komórka w postaci pryzmy
o podstawie sześciokąta
foremnego



- 4 -



Komórka w postaci pryzmy
o podstawie trójkąta
równobocznego



CEL PRACY

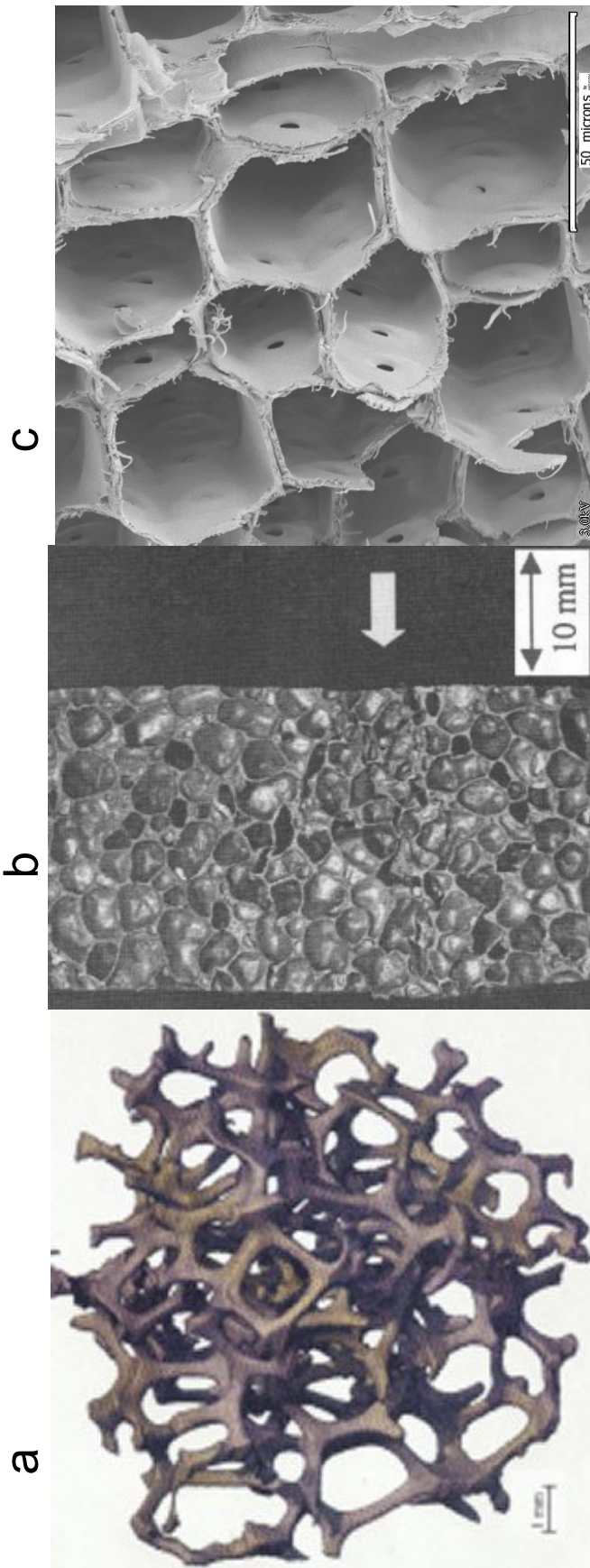
Opracowanie teorii wytężenia materiałów komórkowych z uwzględnieniem parametrów mikrostruktury szkieletu z zastosowaniem teorii sprężystych stanów własnych i energetycznych warunków granicznych podanych przez J. Rychlewskiego [1984].

Zastosowanie do materiałów komórkowych propozycji, że graniczne wartości gęstości energii sprężystych Φ_p^{gr} dla poszczególnych stanów własnych można obliczać z mikrostrukturalnego modelu materiału (K. T. Nalepka, R. B. Pęcherski [2003]).

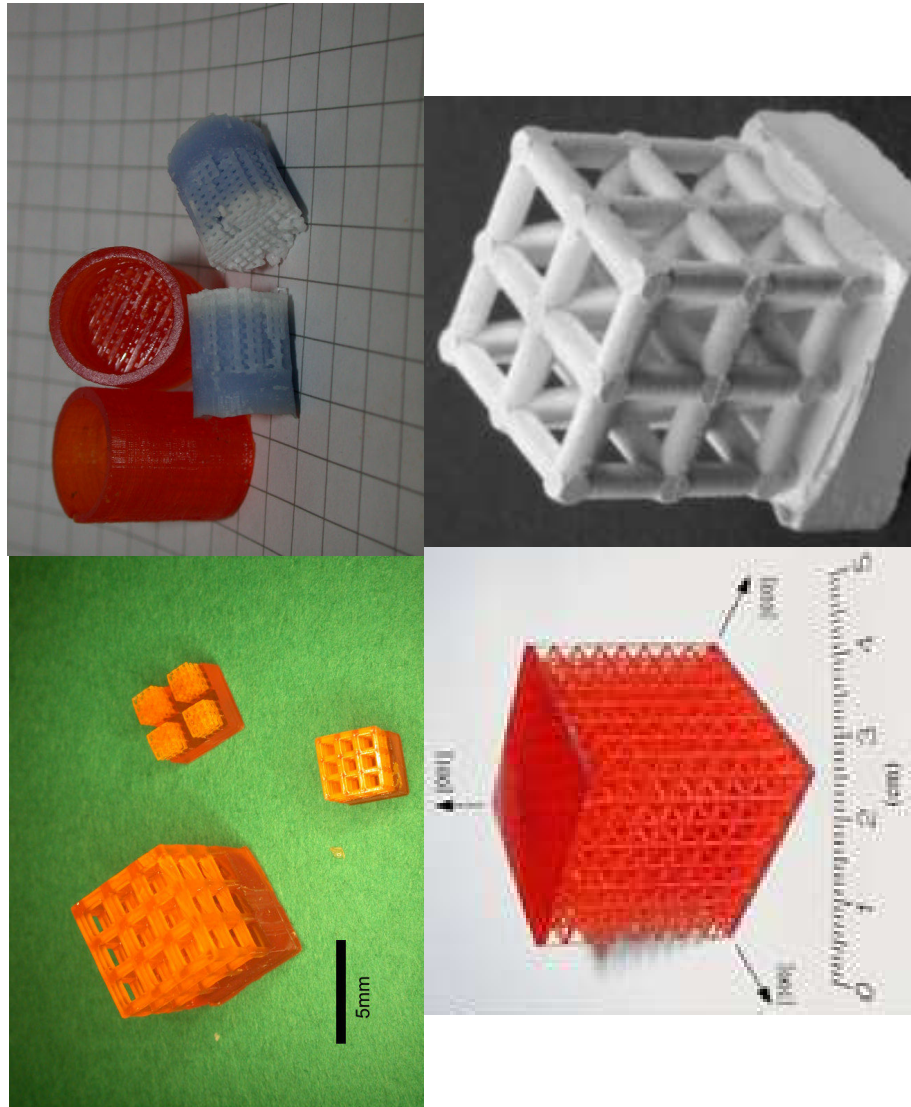
Wyrowadzono analityczne formuły dla sprężystych modułów Kelvina oraz granicznych energii sprężystych z wykorzystaniem programu do symbolicznych obliczeń Mathcad.

MATERIAŁY KOMÓRKOWE RODZAJE, ZASTOSOWANIE I MODELOWANIE

OGÓLNA CHARAKTERYSTYKA

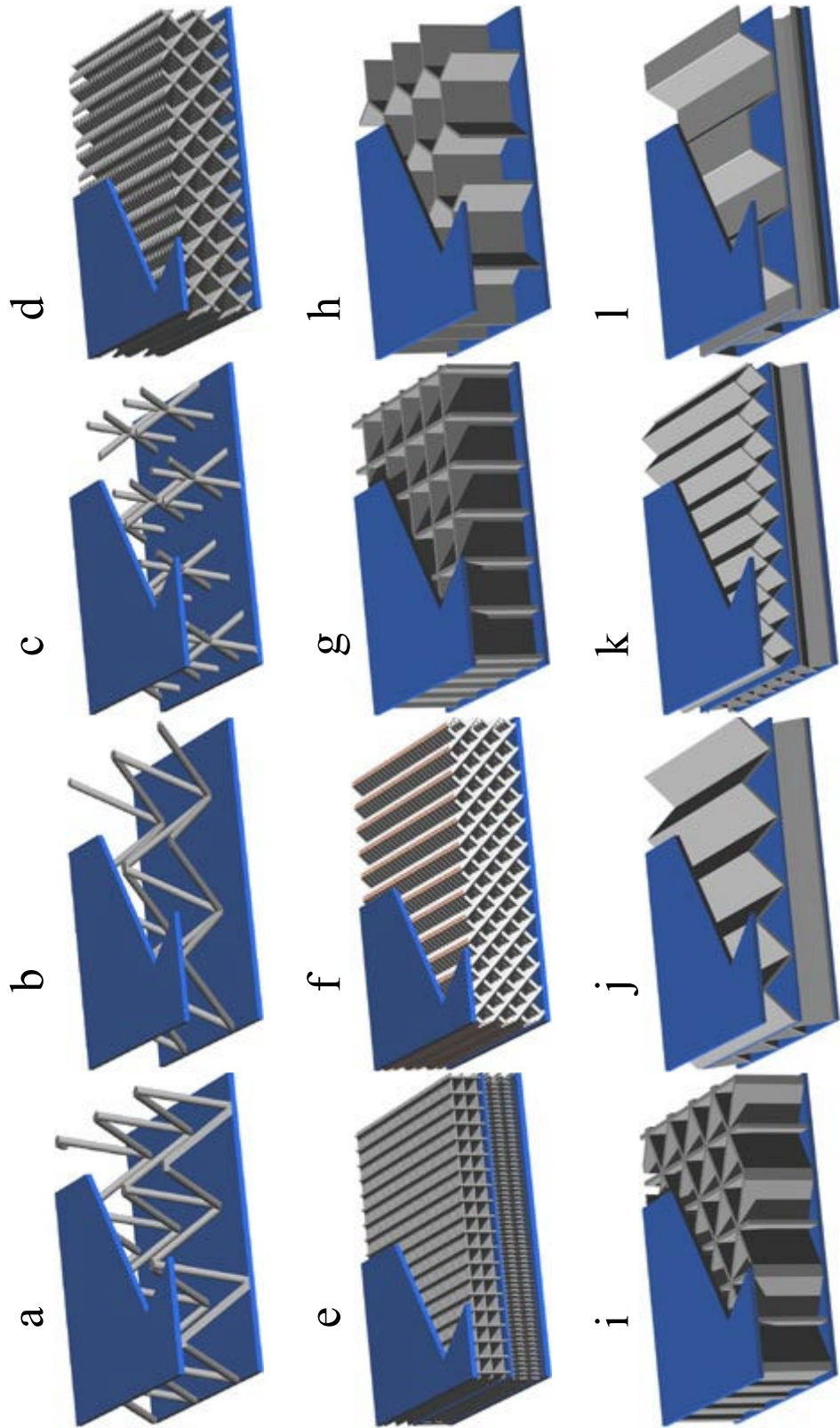


- a) pianka aluminiowa – komórka otwarta,
- b) pianka aluminiowa – komórka zamknięta
- c) struktura drewna



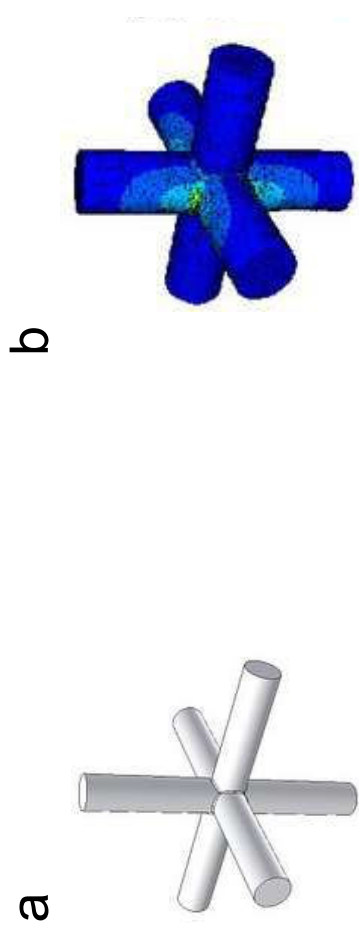
Struktury komórkowe polimerowe lub ceramiczne

ZASTOSOWANIE MATERIAŁÓW KOMÓRKOWYCH

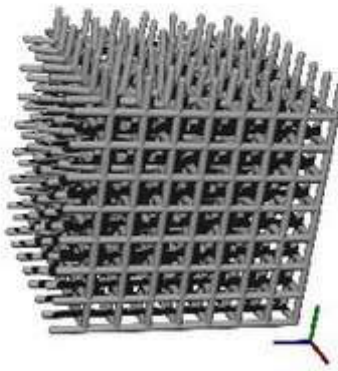
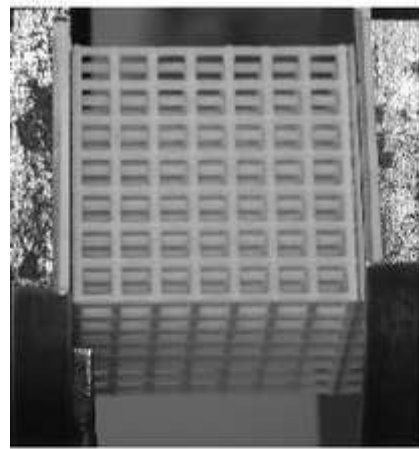


Wypełnienie płyt strukturami komórkowymi

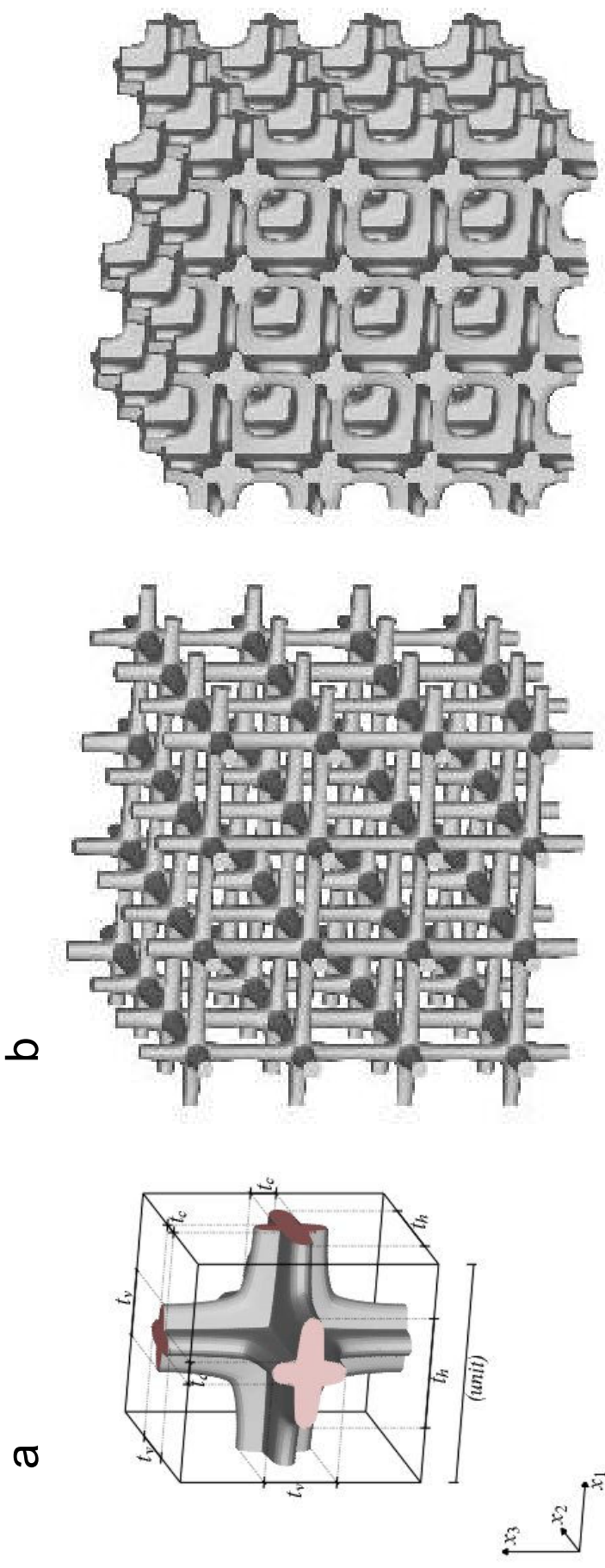
MODELOWANIE MATERIAŁÓW KOMÓRKOWYCH



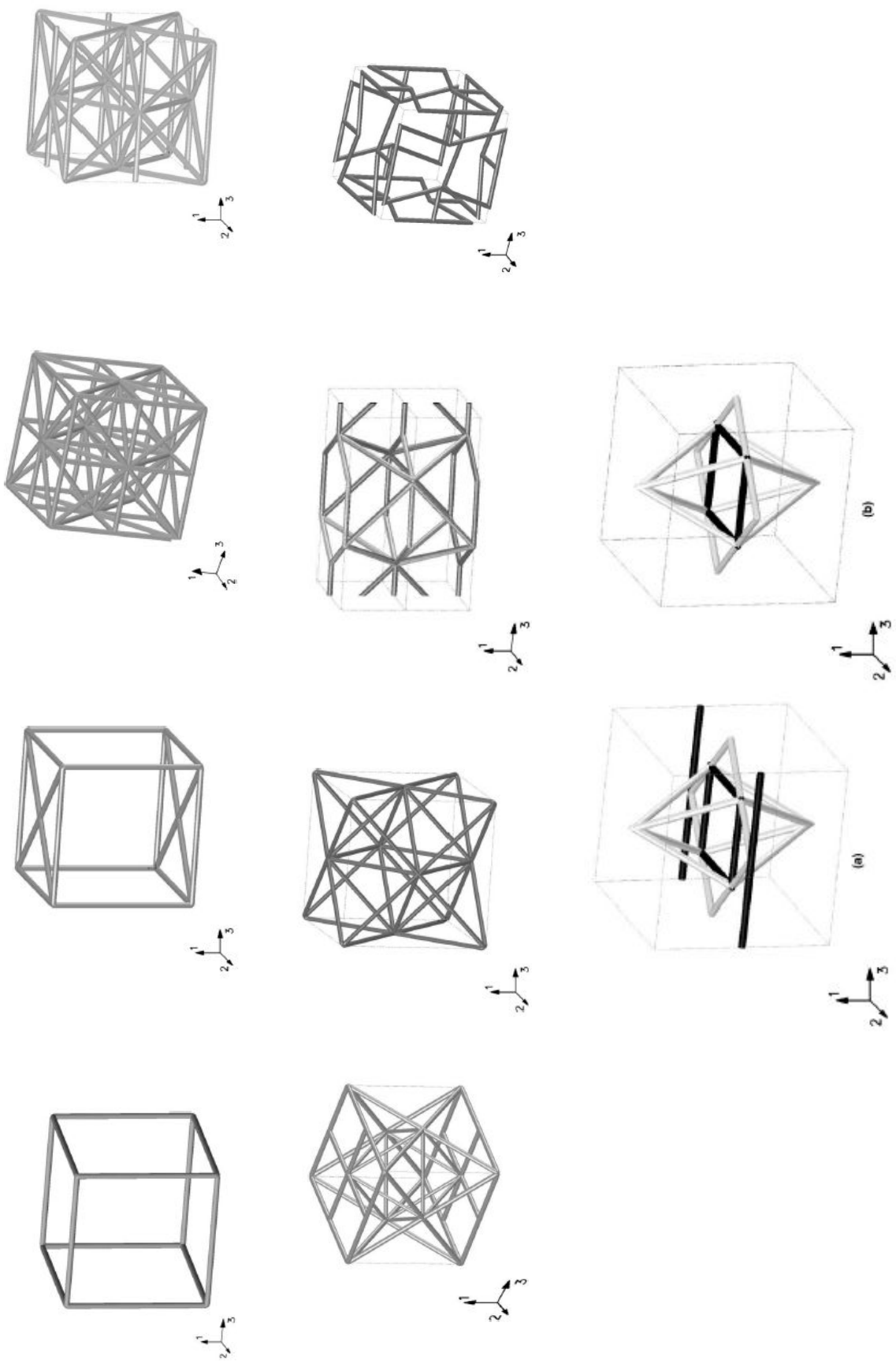
Reprezentatywny element struktury komórkowej: a) model teoretyczny ze sztucznyim węzłem, b) zastosowanie metody elementów skończonych do analizy węzła



Badania doświadczalne



a) reprezentatywna komórka sześcienna
b) model struktury kości gąbczastej przyjęty do obliczeń numerycznych
(P. Kowalczyk [2003])



Przykłady struktur komórkowych analizowanych numerycznie
w pracy J. Aboudi, R. Gilat [2005]

- 12 -

PODSTAWY TEORII SPREŻYSTYCZNYCH STANÓW WŁASNYCH I STANÓW GRANICZNYCH MATERIAŁÓW ANIZOTROPOWYCH

LINIOWA SPREŻYSTOŚĆ MATERIAŁÓW ANIZOTROPOWYCH

$$\boldsymbol{\sigma} = \mathbf{S} \cdot \boldsymbol{\varepsilon}, \quad \boldsymbol{\varepsilon} = \mathbf{C} \cdot \boldsymbol{\sigma}, \quad \mathbf{S}, \mathbf{C} - \text{tensory Hooke'a}$$

zagadnienie własne

$$\mathbf{S} \cdot \boldsymbol{\omega}_i = \lambda_i \boldsymbol{\omega}_i, \quad \mathbf{C} \cdot \boldsymbol{\omega}_i = \frac{1}{\lambda_i} \boldsymbol{\omega}_i$$

rozkład spektralny (J. Rychlewski [1984])

$$\mathbf{S} = \mathbf{S} \cdot \boldsymbol{\omega}_i \otimes \boldsymbol{\omega}_i = \lambda_I \boldsymbol{\omega}_I \otimes \boldsymbol{\omega}_I + \dots + \lambda_{VI} \boldsymbol{\omega}_{VI} \otimes \boldsymbol{\omega}_{VI}$$

Dla dowolnego spreżystego ciała z tensorami Hooke'a \mathbf{S}, \mathbf{C} istnieje dokładnie jeden ortogonalny rozkład przestrzeni tensorów symetrycznych drugiego rzędu na podprzestrzenie \mathcal{P}_k : $\mathbf{T}_2^S = \mathcal{P}_1 \oplus \mathcal{P}_2 \oplus \dots \oplus \mathcal{P}_\rho$, $\rho \leq 6$ i ciąg modułów Kelvinina $\lambda_1 < \lambda_2 < \dots < \lambda_\rho$ taki, że

$$\mathbf{S} = \lambda_1 \mathbf{P}_1 + \dots + \lambda_\rho \mathbf{P}_\rho$$

gdzie tensor \mathbf{P}_k jest projektorem ortogonalnym na podprzestrzeń \mathcal{P}_k .

Dla tensora podatności rozkład spektralny ma postać

$$\begin{aligned}\mathbf{C} = \mathbf{C} \cdot \boldsymbol{\omega}_i \otimes \boldsymbol{\omega}_i &= \frac{1}{\lambda_I} \boldsymbol{\omega}_I \otimes \boldsymbol{\omega}_I + \dots + \frac{1}{\lambda_{VI}} \boldsymbol{\omega}_{VI} \otimes \boldsymbol{\omega}_{VI} \\ \mathbf{C} &= \frac{1}{\lambda_1} \mathbf{P}_1 + \dots + \frac{1}{\lambda_\rho} \mathbf{P}_\rho\end{aligned}$$

Z rozkładu spektralnego tensorów Hooke'a \mathbf{S}, \mathbf{C} wynika wyrażenie na energię sprezystą

$$2\Phi(\sigma_i) = \boldsymbol{\sigma}_i \cdot \mathbf{C} \cdot \boldsymbol{\sigma}_i = C_{klmn} \sigma_{kl}^{(i)} \sigma_{mn}^{(i)} = \frac{1}{\lambda^{(i)}} (\sigma^{(i)})^2, \quad i=1, \dots, p \quad p \leq 6$$

gdzie: $(\sigma^{(i)})^2$ - kwadrat rzutu tensora naprężenia na i -ty wektor własny tensora \mathbf{S}, \mathbf{C}
 $\lambda^{(i)}$ - i -ta wartość własna tensora \mathbf{S}, \mathbf{C}

Główny rozkład energii sprężystej odpowiadający rozkładowi przestrzeni \mathcal{T}_2^S na podprzestrzenie własne \mathcal{P}_k dla tensora \mathbf{C} przyjmuje postać (J. Rychlewski [1984])

$$\Phi(\boldsymbol{\sigma}) = \phi(\boldsymbol{\sigma}_1 + \dots + \boldsymbol{\sigma}_\rho) = \phi(\boldsymbol{\sigma}_1) + \phi(\boldsymbol{\sigma}_2) + \dots + \phi(\boldsymbol{\sigma}_\rho) = \frac{\sigma_1^2}{2\lambda_1} + \frac{\sigma_2^2}{2\lambda_2} + \dots + \frac{\sigma_\rho^2}{2\lambda_\rho}$$

Obszar stosowności prawa Hooke'a określa kwadratowy warunek graniczny typu R. von Mises'a [1928]

$$\boldsymbol{\sigma} \cdot \mathbf{H} \cdot \boldsymbol{\sigma} \leq 1$$

Warunek graniczny typu Mises'a przyjmuje postać

$$\boldsymbol{\sigma} \cdot \mathbf{H} \cdot \boldsymbol{\sigma} = \frac{1}{h_1} \phi(\boldsymbol{\sigma}_1) + \frac{1}{h_2} \phi(\boldsymbol{\sigma}_2) + \dots + \frac{1}{h_\rho} \phi(\boldsymbol{\sigma}_\rho) = \frac{\sigma_1^2}{k_1^2} + \frac{\sigma_2^2}{k_2^2} + \dots + \frac{\sigma_\rho^2}{k_\rho^2} \leq 1$$

gdzie: $h_\alpha = \frac{k_\alpha^2}{2\lambda_\alpha}$ jest graniczną wartością energii sprężystej dla naprężenia $\boldsymbol{\sigma}_\alpha$ - $\frac{\Phi(\boldsymbol{\sigma}_\alpha)}{h_\alpha} = \frac{1}{h_\alpha} \frac{\sigma_\alpha^2}{2\lambda_\alpha} = \frac{\sigma_\alpha^2}{k_\alpha^2}$,

przestrzeń \mathcal{P}_α jest przestrzenią stanów bezpiecznych jeśli $k_\alpha \rightarrow \infty$, warunek graniczny wiąże zatem w pewien sposób własności sprężyste ciał z jego własnościami w stanie granicznym

KRYTERIA ENERGETYCZNE DLA MATERIAŁÓW KOMÓRKOWYCH

energetyczne kryterium wyteżenia sformułowane przez J. Rychlewskiego [1984] (kryterium dla sprzążonych stanów własnych) gdy tensorzy \mathbf{C} , \mathbf{S} i \mathbf{H} są współosiowe

$$\frac{\Phi(\boldsymbol{\sigma}_1)}{\Phi_1^{gr}} + \dots + \frac{\Phi(\boldsymbol{\sigma}_p)}{\Phi_p^{gr}} \leq 1, \quad p \leq 6$$

$\boldsymbol{\sigma} = \boldsymbol{\sigma}_1 + \boldsymbol{\sigma}_2 + \dots + \boldsymbol{\sigma}_p$ - rozkład tensora naprężenia na p stanów własnych
 Φ_p^{gr} - graniczna wartość gęstości energii sprężystej w stanie własnym p ,
która należy obliczyć

kryterium dla roztacznich stanów własnych (S. C. Cowin et al., 1995)

$$\begin{aligned}\Phi(\boldsymbol{\sigma}_1) &\leq \Phi_1^{gr} \\ &\vdots \\ \Phi(\boldsymbol{\sigma}_p) &\leq \Phi_p^{gr} \quad p \leq 6\end{aligned}$$

SPRĘŻYSTE STANY WŁASNE I GĘSTOŚCI ENERGII GRANICZNYCH

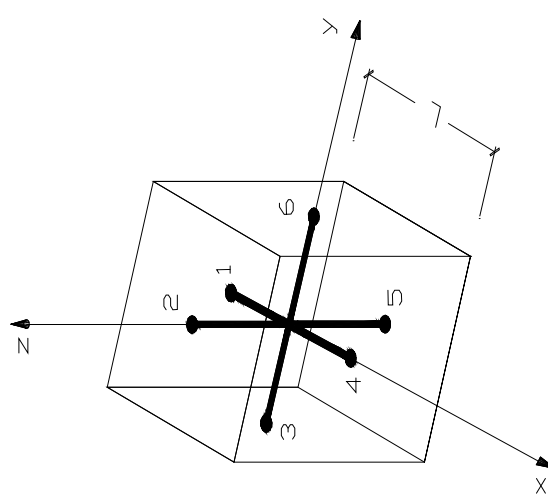
Komórka sześcienna – symetria kubiczna

OZNACZENIA

L - wymiar elementów belkowych (szkieletu)

S_n - sztywność elementów belkowych na rozciąganie

S_τ - sztywność elementów belkowych na zginanie



MODUŁ Y KELVINA MACIERZY \mathbf{S}

$$\lambda_I = \lambda_1 = \frac{S_n}{2L}$$

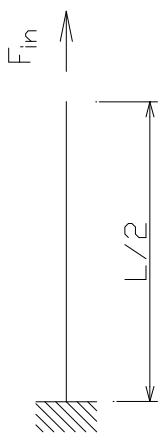
$$\lambda_{II} = \lambda_2 = \lambda_3 = \frac{S_n}{2L}$$

$$\lambda_{III} = \lambda_4 = \lambda_5 = \lambda_6 = \frac{2S_\tau}{4L}$$

GRANICZNE SIŁY SPREŻYSTE DLA ELEMENTÓW BELKOWYCH

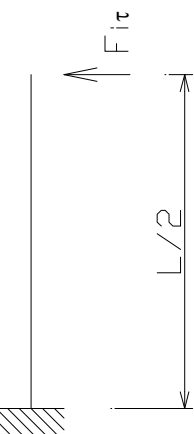
ściskanie (rozciąganie):

$$F^{gr} = A R_e$$



ścinanie (zginanie):

$$F^{gr} = \frac{R_e I}{L h}$$



DEFINICJA NAPRĘŻENIA
dla ekwiwalentnego kontinuum
(S. Nemat-Nasser, M. Hori [1999])

$$\boldsymbol{\sigma} = \frac{1}{V} \int_{V^S} \boldsymbol{\sigma}^S dV$$

gdzie:

V – objętość reprezentatywnej komórki
 V^S – objętość szkieletu

- 18 -

OBLICZONE GĘSTOŚCI ENERGII GRANICZNYCH DLA STANÓW WŁASNYCH

$$\boldsymbol{\sigma}_I = \boldsymbol{\sigma}_1 = \begin{bmatrix} -\frac{A R_e}{L^2} & 0 & 0 \\ 0 & -\frac{A R_e}{L^2} & 0 \\ 0 & 0 & \frac{-A R_e}{L^2} \end{bmatrix}$$

$$\boldsymbol{\sigma}_{II} = \boldsymbol{\sigma}_{2,3} = \begin{bmatrix} \frac{2}{3} \frac{A R_e}{L^2} & 0 & 0 \\ 0 & \frac{-1}{3} \frac{A R_e}{L^2} & 0 \\ 0 & 0 & \frac{-1}{3} \frac{A R_e}{L^2} \end{bmatrix}$$

$$\boldsymbol{\sigma}_{III} = \boldsymbol{\sigma}_{4,5,6} = \begin{bmatrix} \frac{\sqrt{2}}{h L^3} I R_e & \frac{\sqrt{2}}{h L^3} I R_e & 0 \\ 0 & \frac{\sqrt{2}}{h L^3} I R_e & \frac{\sqrt{2}}{h L^3} I R_e \\ \frac{\sqrt{2}}{h L^3} I R_e & 0 & \frac{\sqrt{2}}{h L^3} I R_e \end{bmatrix}$$

$$2 \Phi_I^{gr} = 3 \frac{1}{\lambda_I} \left(\frac{A R_e}{L^2} \right)^2$$

$$2 \Phi_{II}^{gr} = \frac{2}{3} \frac{1}{\lambda_{II}} \left(\frac{A R_e}{L^2} \right)^2$$

$$2 \Phi_{III}^{gr} = 6 \frac{1}{\lambda_{III}} \frac{I^2 R_e^2}{h^2 L^6}$$

R_e - granica plastyczności, h - maksymalna odległość wólkien górnego lub dolnego
 element belkowego, A - pole przekroju elementu belkowego, I - moment bezwładności elementu belkowego

Komórka prostopadłoscienna - ortotropia

OZNACZENIA

L_{I-2} , L_{3-4} , H - wymiary elementów belkowych (szkieletu)

S_{nI-2} , S_{n3-4} , S_{n5-6} - sztywności elementów belkowych na rozciąganie

$S_{\tau I-2}$, $S_{\tau 3-4}$, $S_{\tau 5-6}$ - sztywności elementów belkowych na zginanie

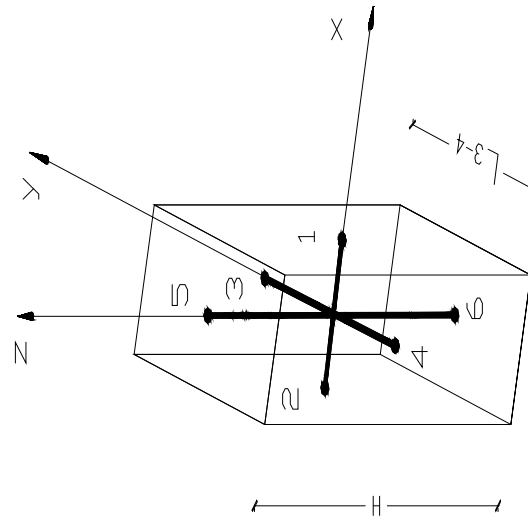
MODUŁ Y KELVINA

$$\lambda_I = \frac{L_{I-2} S_{nI-2}}{2 L_{3-4} H} \quad \lambda_{II} = \lambda_2 = \frac{L_{3-4} S_{n3-4}}{2 L_{I-2} H} \quad \lambda_{III} = \lambda_3 = \frac{H S_{n5-6}}{2 L_{I-2} L_{3-4}}$$

$$\lambda_{IV} = \lambda_4 = \frac{2 H^2 S_{\tau 5-6}}{L_{3-4}^2 S_{\tau 3-4} + H^2 S_{\tau 5-6}} \quad \frac{L_{3-4}}{2} S_{\tau 3-4}$$

$$L_{I-2} \leq L_{3-4} \leq H$$

$$\lambda_V = \lambda_5 = \frac{\frac{2 H^2 S_{\tau 5-6}}{L_{I-2}^2 S_{\tau I-2} + H^2 S_{\tau 5-6}} \frac{L_{I-2}}{2} S_{\tau I-2}}{\frac{L_{3-4}^2 S_{\tau 3-4} + L_{I-2}^2 S_{\tau I-2}}{L_{3-4} H}} \quad \lambda_{VI} = \lambda_6 = \frac{\frac{L_{I-2}}{2} S_{\tau I-2}}{\frac{L_{3-4} H}{L_{3-4}}} \quad \lambda_V = \lambda_6 = \frac{\frac{2 L_{3-4}^2 S_{\tau 3-4}}{L_{3-4}^2 S_{\tau 3-4} + L_{I-2}^2 S_{\tau I-2}} \frac{L_{I-2}}{2} S_{\tau I-2}}{\frac{L_{3-4} H}{L_{3-4}}} \quad \lambda_V = \lambda_6 = \frac{\frac{L_{I-2}}{2} S_{\tau I-2}}{\frac{L_{3-4} H}{L_{3-4}}}$$



OBLICZONE GEŁSTOŚCI ENERGII GRANICZNYCH DLA STANÓW WŁASNYCH

$$\boldsymbol{\sigma}_I = \boldsymbol{\sigma}_1 = \begin{bmatrix} \frac{A R_e}{L_{3-4} H} & 0 & 0 \\ 0 & 0 & 0 \\ 0 & 0 & 0 \end{bmatrix}$$

$$2 \Phi_I^{gr} = \frac{1}{\lambda_I} \left(\frac{A R_e}{L_{3-4} H} \right)^2$$

$$\boldsymbol{\sigma}_{II} = \boldsymbol{\sigma}_2 = \begin{bmatrix} 0 & 0 & 0 \\ 0 & \frac{A R_e}{L_{1-2} H} & 0 \\ 0 & 0 & 0 \end{bmatrix}$$

$$2 \Phi_{II}^{gr} = \frac{1}{\lambda_{II}} \left(\frac{A R_e}{L_{1-2} H} \right)^2$$

$$\boldsymbol{\sigma}_{III} = \boldsymbol{\sigma}_3 = \begin{bmatrix} 0 & 0 & 0 \\ 0 & 0 & 0 \\ 0 & 0 & \frac{A R_e}{L_{1-2} L_{3-4}} \end{bmatrix}$$

$$2 \Phi_{III}^{gr} = \frac{1}{\lambda_{III}} \left(\frac{A R_e}{L_{1-2} L_{3-4}} \right)^2$$

$$\boldsymbol{\sigma}_V = \boldsymbol{\sigma}_5 = \begin{bmatrix} 0 & 0 & 0 \\ 0 & \sqrt{2} \frac{I}{2} R_e \frac{2}{H} & \sqrt{2} \frac{I}{2} R_e \frac{2}{H} \\ 0 & \sqrt{2} \frac{I}{2} R_e \frac{2}{H} & 0 \end{bmatrix}$$

$$2 \Phi_{IV}^{gr} = 8 \frac{1}{\lambda_{IV}} \frac{I^2 R_e^2}{h^2 L_{1-2}^2 L_{3-4}^2 H^2}$$

$$2 \Phi_V^{gr} = 8 \frac{1}{\lambda_V} \frac{I^2 R_e^2}{h^2 L_{1-2}^2 L_{3-4}^2 H^2}$$

$$\boldsymbol{\sigma}_V = \boldsymbol{\sigma}_6 = \begin{bmatrix} 0 & \sqrt{2} \frac{I}{2} \frac{R_e}{L_{3^{-4}}} \frac{2}{L_{1^{-2}} H} & 0 \\ \sqrt{2} \frac{I}{2} \frac{R_e}{L_{3^{-4}}} \frac{2}{L_{1^{-2}} H} & 0 & 0 \\ 0 & 0 & 0 \end{bmatrix}$$

$$2\Phi_{VI}^{gr}=8\frac{1}{\lambda_{VI}}\frac{I^2R_e^2}{h^2{L_{1^{-2}}}^2{L_{3^{-4}}}^2H^2}$$

Komórka w postaci pryzmy o podstawie trójkąta równobocznego – symetria transwersalnie izotropowa

OZNACZENIA

L, H - wymiary elementów belkowych (szkieletu)

S_{nL}, S_{nH} - sztywności elementów belkowych na rozciąganie

$S_{\tau L}, S_{\tau H}$ - sztywności elementów belkowych na zginanie

MODUŁ Y KELVINA

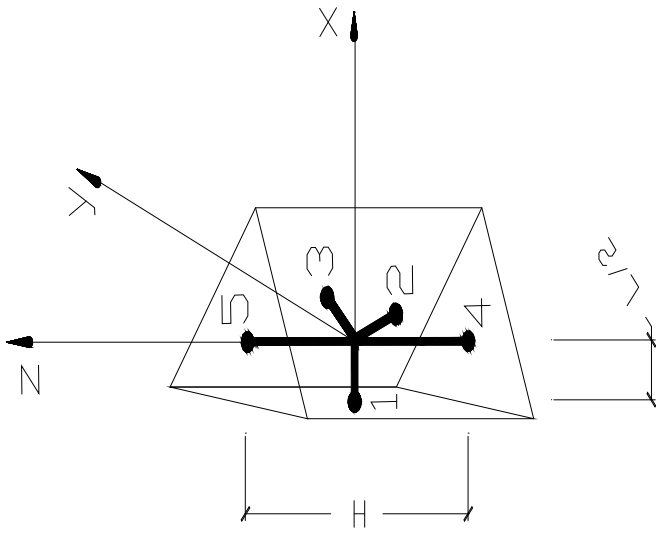
$$\lambda_I = \lambda_L = \frac{\sqrt{3} S_{nL}}{6 H}$$

$$\lambda_H = \lambda_3 = \frac{2 \sqrt{3} H S_{nH}}{9 L^2}$$

$$\lambda_{III} = \lambda_2 = \lambda_6 = \frac{\sqrt{3} S_{nL} S_{\tau L}}{3 H (S_{nL} + S_{\tau L})}$$

$$\lambda_{IV} = \lambda_4 = \lambda_5 = \frac{4 \sqrt{3} H S_{\tau H} S_{\tau L}}{3 (3 L^2 S_{\tau L} + 4 H^2 S_{\tau H})}$$

$$L \leq H$$



OBLICZONE GEŁSTOŚCI ENERGII GRANICZNYCH DLA STANÓW WŁASNYCH

$$\boldsymbol{\sigma}_I = \boldsymbol{\sigma}_1 = \begin{bmatrix} \frac{-\sqrt{3} A R_e}{3 L H} & 0 & 0 \\ 0 & \frac{-\sqrt{3} A R_e}{3 L H} & 0 \\ 0 & 0 & 0 \end{bmatrix}$$

$$2 \Phi_I^{gr} = \frac{2}{3} \frac{1}{\lambda_I} \frac{A^2 R_e^2}{L^2 H^2}$$

$$\boldsymbol{\sigma}_{II} = \boldsymbol{\sigma}_2 = \begin{bmatrix} 0 & 0 & 0 \\ 0 & 0 & 0 \\ 0 & 0 & \frac{-4 \sqrt{3} A R_e}{9 L^2} \end{bmatrix}$$

$$2 \Phi_{II}^{gr} = \frac{16}{27} \frac{1}{\lambda_{II}} \frac{A^2 R_e^2}{L^4}$$

$$\boldsymbol{\sigma}_{III} = \boldsymbol{\sigma}_{3,4} = \begin{bmatrix} \frac{I\,A\,R_e\,(4\,\sqrt{3}\,-1)}{L\,H\,(4\,I+L\,h\,A)} & \frac{2\,\sqrt{3}\,I\,A\,R_e}{3\,L\,H\,(4\,I+L\,h\,A)} & 0 \\[0.3em] \frac{2\,\sqrt{3}\,I\,A\,R_e}{3\,L\,H\,(4\,I+L\,h\,A)} & \frac{-I\,A\,R_e\,(4\,\sqrt{3}\,-1)}{L\,H\,(4\,I+L\,h\,A)} & 0 \\[0.3em] 0 & 0 & 0 \end{bmatrix}$$

$$2\,\Phi_{III}^{gr} = \frac{2}{9}\frac{1}{\lambda_{III}}\frac{I^2\,A^2\,R_e^2\,(61\,-8\,\sqrt{3})}{H^2\,L^2\,(4\,I+L\,h\,A)^2}$$

$$\boldsymbol{\sigma}_{IV} = \boldsymbol{\sigma}_{5,6} = \begin{bmatrix} 0 & 0 & \frac{4\,\sqrt{3}\,I\,R_e}{9\,L^2\,h\,H} \\[0.3em] 0 & 0 & \frac{4\,\sqrt{3}\,I\,R_e}{9\,L^2\,h\,H} \\[0.3em] \frac{4\,\sqrt{3}\,I\,R_e}{9\,L^2\,h\,H} & \frac{4\,\sqrt{3}\,I\,R_e}{9\,L^2\,h\,H} & 0 \end{bmatrix}$$

$$2\,\Phi_{IV}^{gr} = \frac{64}{27}\frac{1}{\lambda_{IV}}\frac{I^2\,R_e^2}{H^2\,L^4\,h^2}$$

Komórka w postaci pryzmy o podstawie sześciokąta foremnego – symetria transwersalnie izotropowa

OZNACZENIA

L, H - wymiary elementów belkowych (szkieletu)

S_{nL}, S_{nH} - sztywności elementów belkowych na rozciąganie

$S_{\tau L}, S_{\tau H}$ - sztywności elementów belkowych na zginanie

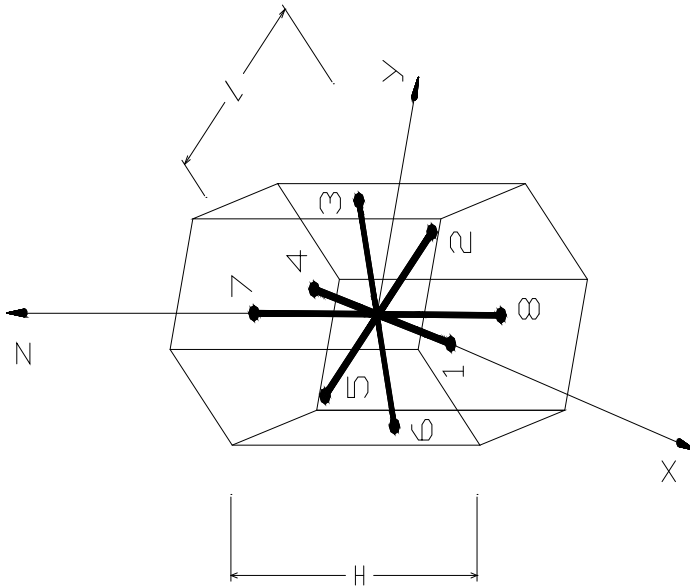
MODUŁ Y KELVINA

$$\lambda_I = \lambda_1 = \frac{\sqrt{3} S_{nL}}{2 H}$$

$$\lambda_H = \lambda_3 = \frac{\sqrt{3} H S_{nH}}{3 L^2}$$

$$\lambda_{III} = \lambda_2 = \lambda_6 = \frac{\sqrt{3} (S_{nL} + 2 S_{\tau L})}{4 H}$$

$$\lambda_{IV} = \lambda_4 = \lambda_5 = \frac{2 \sqrt{3} H S_{\tau H} S_{\tau L}}{3 L^2 S_{\tau L} + 2 H^2 S_{\tau H}}$$



OBLICZONE GĘSTOŚCI ENERGII GRANICZNYCH DLA STANÓW WŁASNYCH

$$\boldsymbol{\sigma}_I = \boldsymbol{\sigma}_1 = \begin{bmatrix} \frac{-\sqrt{3} A R_e}{L H} & 0 & 0 \\ 0 & \frac{-\sqrt{3} A R_e}{L H} & 0 \\ 0 & 0 & 0 \end{bmatrix}$$

$$2 \Phi_I^{gr} = 6 \frac{1}{\lambda_I} \frac{A^2 R_e^2}{L^2 H^2}$$

$$\boldsymbol{\sigma}_{II} = \boldsymbol{\sigma}_2 = \begin{bmatrix} 0 & 0 & 0 \\ 0 & 0 & 0 \\ 0 & 0 & \frac{-2 \sqrt{3} A R_e}{3 L H} \end{bmatrix}$$

$$2 \Phi_{II}^{gr} = \frac{4}{3} \frac{1}{\lambda_{II}} \frac{A^2 R_e^2}{H^2 L^2}$$

$$\boldsymbol{\sigma}_{III} = \boldsymbol{\sigma}_{3,4} = \begin{bmatrix} \frac{2 I A R_e \sqrt{3} (S_{nL} + 2 S_{\tau L})}{L H (4 I S_{nL} + L S_{\tau L} h A)} & \frac{I A R_e \sqrt{3} (S_{nL} + 2 S_{\tau L})}{L H (4 I S_{nL} + L S_{\tau L} h A)} \\[1ex] \frac{I A R_e \sqrt{3} (S_{nL} + 2 S_{\tau L})}{L H (4 I S_{nL} + L S_{\tau L} h A)} & \frac{-2 I A R_e \sqrt{3} (S_{nL} + 2 S_{\tau L})}{L H (4 I S_{nL} + L S_{\tau L} h A)} \\[1ex] 0 & 0 \end{bmatrix}$$

$$2 \Phi_{III}^{gr} = 30 \frac{1}{\lambda_{III}} \frac{(S_{nL} + 2 S_{\tau L})^2 R_e^2 A^2 I^2}{H^2 L^2 (4 S_{nL} I + L S_{\tau L} h A)^2}$$

$$\boldsymbol{\sigma}_{IV} = \boldsymbol{\sigma}_{5,6} = \begin{bmatrix} 0 & 0 & \frac{2 \sqrt{3} I R_e}{3 L^2 h H} \\[1ex] 0 & 0 & \frac{2 \sqrt{3} I R_e}{3 L^2 h H} \\[1ex] \frac{2 \sqrt{3} I R_e}{3 L^2 h H} & \frac{2 \sqrt{3} I R_e}{3 L^2 h H} & 0 \end{bmatrix}$$

$$2 \Phi_{IV}^{gr} = \frac{16}{3} \frac{1}{\lambda_{IV}} \frac{I^2 R_e^2}{H^2 L^4 h^2}$$

wg hipotezy wytężenia W. Burzyńskiego

$$\sigma_{red} = \frac{\kappa + 1}{2\kappa} \sqrt{\sigma_x^2 + \sigma_y^2 + \sigma_z^2 - \sigma_x \sigma_y - \sigma_x \sigma_z - \sigma_y \sigma_z + 3(\tau_{xy}^2 + \tau_{yz}^2 + \tau_{zx}^2)} +$$

$$+ \frac{\kappa - 1}{2} (\sigma_x + \sigma_y + \sigma_z)$$

$$R_e^c - \text{wytrzymałość na ściszcenie}, \quad R_e^r - \text{wytrzymałość na rozciąganie}$$

$$\kappa = \frac{R_e^c}{R_e^r} = 1$$

- otrzymujemy wzór wynikły z hipotezy energii odkształcenia postaciowego

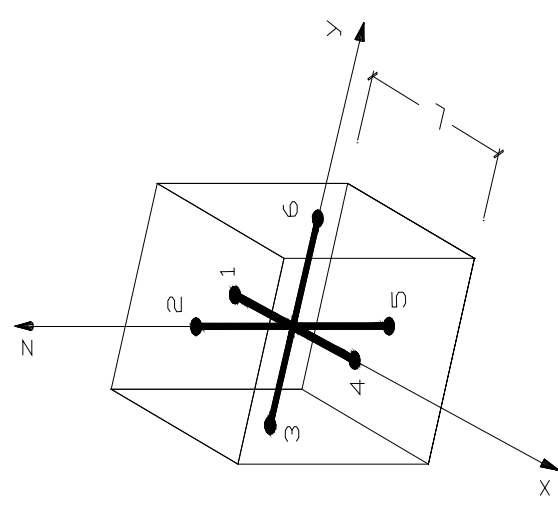
Komórka sześcienna – symetria kubiczna

OZNACZENIA

L - wymiar elementów belkowych (szkieletu)

S_n - sztywność elementów belkowych na rozciąganie

S_τ - sztywność elementów belkowych na zginanie



- 30 -

OBLCZONE GESTOŚCI ENERGII GRANICZNYCH DLA STANÓW WŁASNYCH

$$\boldsymbol{\sigma}_I = \boldsymbol{\sigma}_1 = \begin{bmatrix} \frac{2 A \kappa R_e^r}{(1+\kappa^2)L^2} & 0 & 0 \\ 0 & \frac{2 A \kappa R_e^r}{(1+\kappa^2)L^2} & 0 \\ 0 & 0 & \frac{2 A \kappa R_e^r}{(1+\kappa^2)L^2} \end{bmatrix}$$

$$\boldsymbol{\sigma}_{II} = \boldsymbol{\sigma}_{2,3} = \begin{bmatrix} \frac{4 A \kappa R_e^r}{3(1+\kappa^2)L^2} & 0 & 0 \\ 0 & \frac{-2 A \kappa R_e^r}{3(1+\kappa^2)L^2} & 0 \\ 0 & 0 & \frac{-2 A \kappa R_e^r}{3(1+\kappa^2)L^2} \end{bmatrix}$$

$$\boldsymbol{\sigma}_{III} = \boldsymbol{\sigma}_{4,5,6} = \begin{bmatrix} 0 & \frac{2 I \kappa R_e^r}{(1+\kappa^2)h L^3} & \frac{2 I \kappa R_e^r}{(1+\kappa^2)h L^3} \\ \frac{2 I \kappa R_e^r}{(1+\kappa^2)h L^3} & 0 & \frac{2 I \kappa R_e^r}{(1+\kappa^2)h L^3} \\ \frac{2 I \kappa R_e^r}{(1+\kappa^2)h L^3} & \frac{2 I \kappa R_e^r}{(1+\kappa^2)h L^3} & 0 \end{bmatrix}$$

$$\Phi_I^{gr} = \frac{6}{\lambda_I} (R_e^r)^2 \frac{\kappa^2}{(1+\kappa^2)^2} \frac{A^2}{L^4}$$

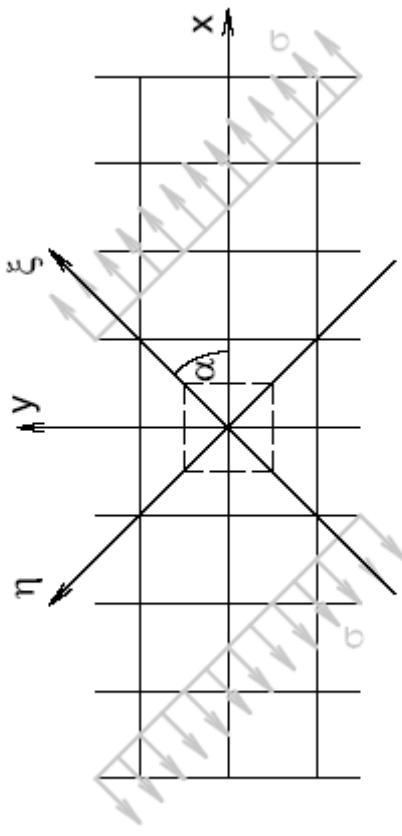
$$\Phi_{II}^{gr} = \frac{4}{3\lambda_{II}} (R_e^r)^2 \frac{\kappa^2}{(1+\kappa^2)^2} \frac{A^2}{L^4}$$

$$\Phi_{III}^{gr} = \frac{12}{\lambda_{III}} (R_e^r)^2 \frac{\kappa^2}{(1+\kappa^2)^2} \frac{I^2}{L^6 h^2}$$

$$R_e^r \leq R_e^c$$

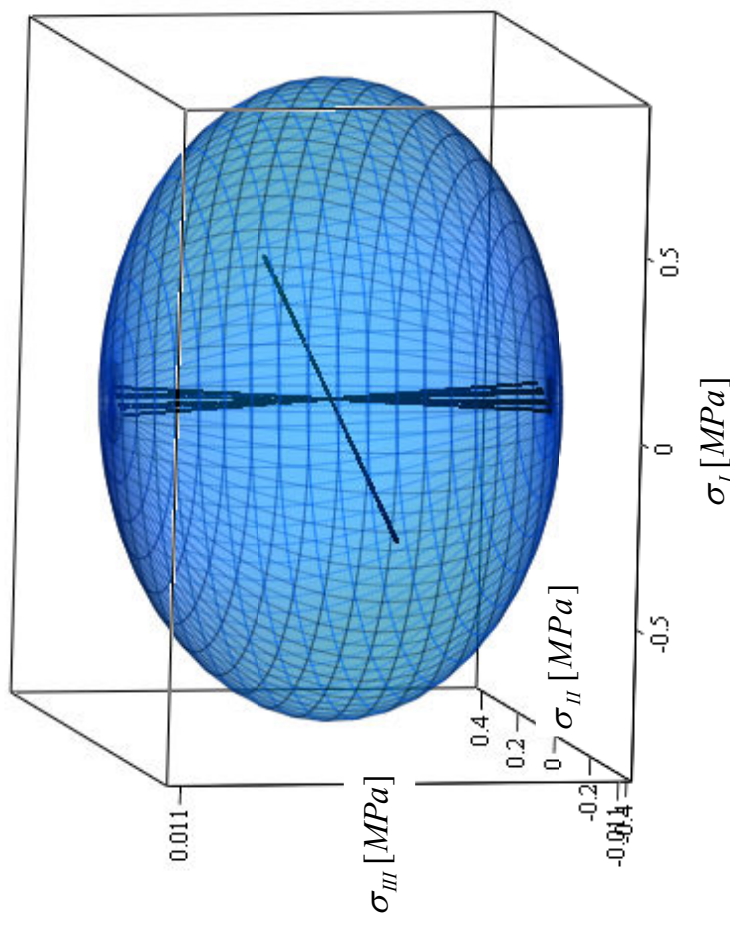
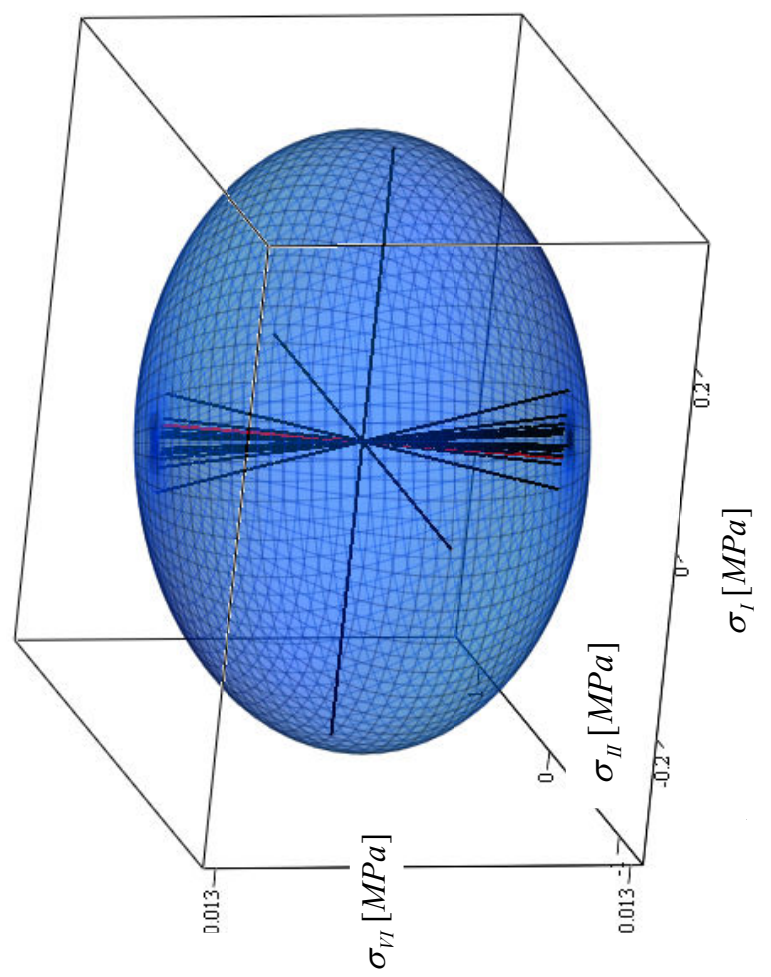
- 31 -

**PRZESTAWIENIE ENERGETYCZNEGO KRYTERIUM J. RYCHLEWSKIEGO
DLA SPRĘŻYSTYCH STANÓW WŁASNYCH PRZY JEDNOOSIOWYM
ROZCIĄGANIU WZDŁUŻ KIERUNKU „n”**



$$\boldsymbol{\sigma}(\xi, \eta) = \begin{bmatrix} \sigma & 0 \\ 0 & 0 \end{bmatrix} \rightarrow \boldsymbol{\sigma}(x, y) = \sigma \begin{bmatrix} \cos^2(\alpha) & \cos(\alpha)\sin(\alpha) \\ \cos(\alpha)\sin(\alpha) & \sin^2(\alpha) \end{bmatrix}$$

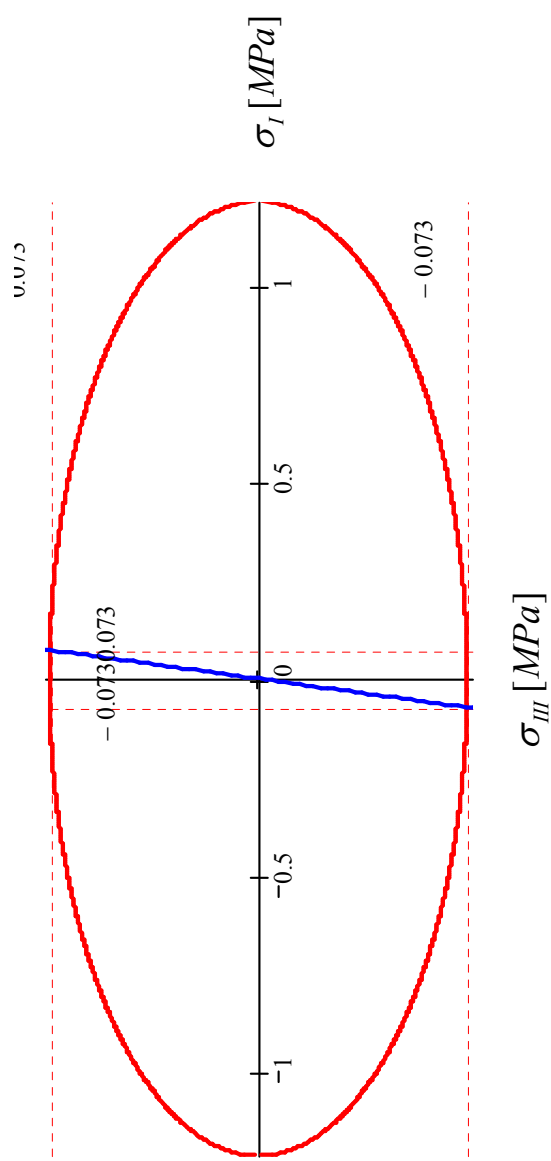
stop Cu-1%Ni, $E_s = 117 GPa$, $G_s = 45 GPa$, $R_e = 112 MPa$ (D. L. McDowell et al., [2005])



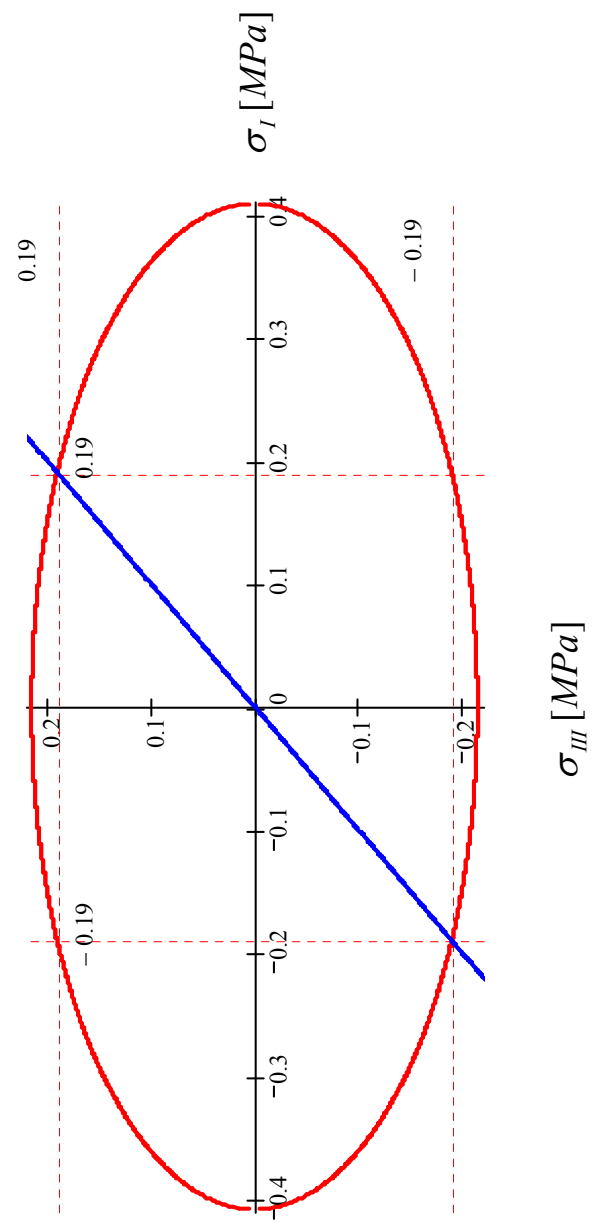
Komórka sześcienna
 $L = 2000 \mu m$, $d = 150 \mu m$

Komórka prostopadłościenna
 $L_{1-2} = 1000 \mu m$, $L_{3-4} = 4000 \mu m$, $H = 1000 \mu m$,
 $d = 120 \mu m$

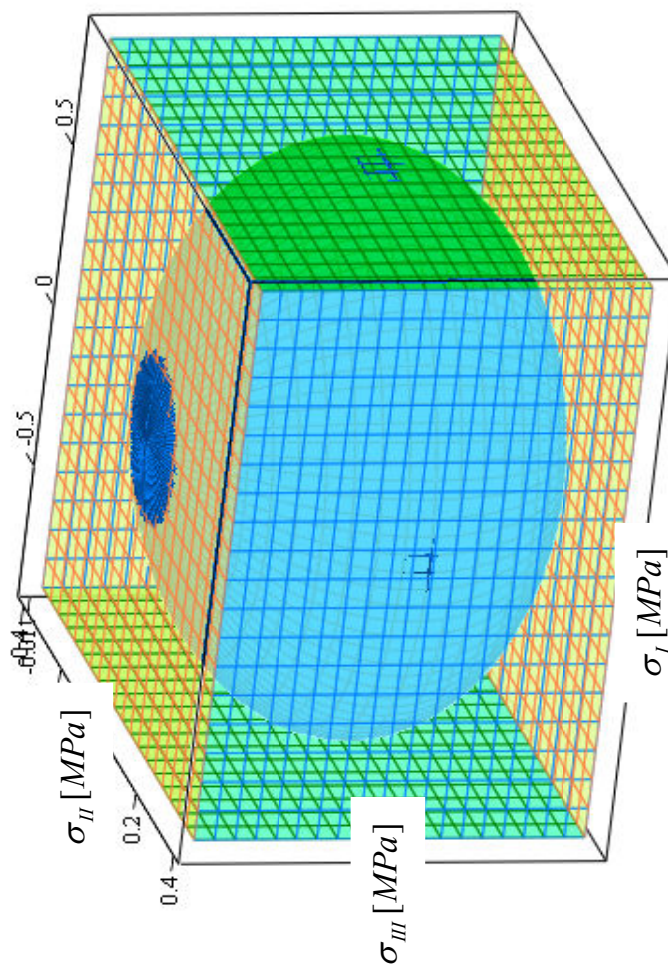
Komórka w postaci
pryzmy o podstawie
trójkąta równobocznego



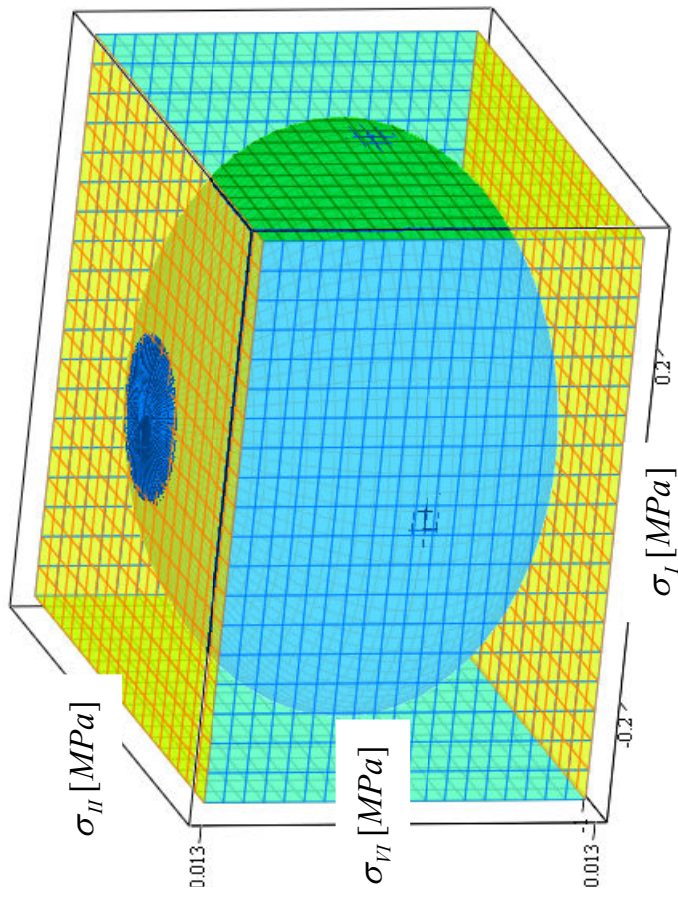
Komórka w postaci pryzmy
o podstawie sześciokąta
foremnego



PORÓWNANIE POWIERZCHNI GRANICZNYCH W PRZESTRZENI STANÓW WŁASNYCH

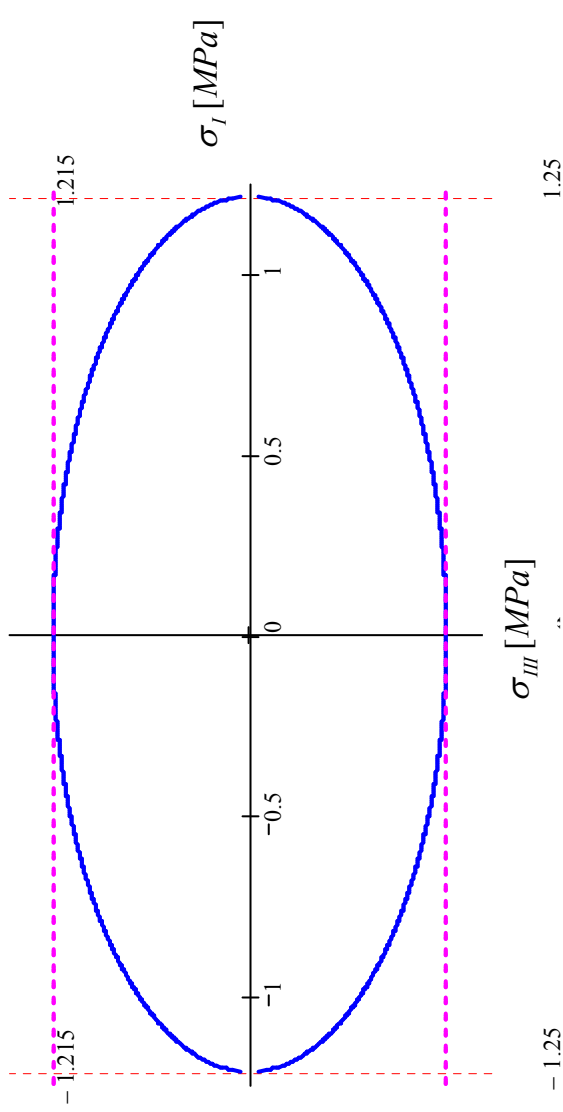


Komórka sześcienna
 $L = 2000 \mu m$, $d = 150 \mu m$

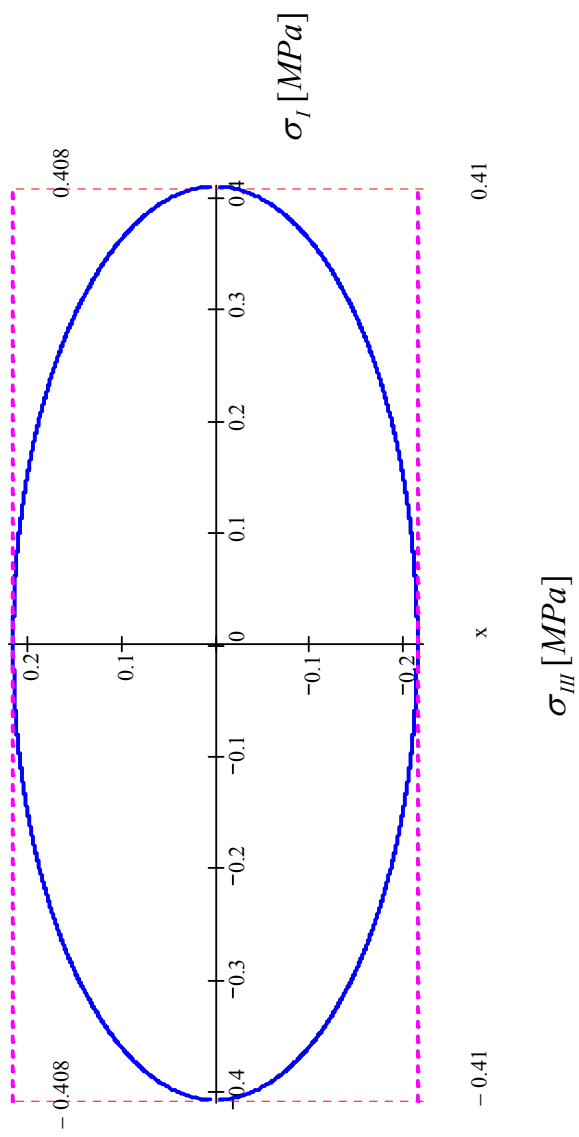


Komórka prostopadłoscienna
 $L_{1-2} = 1000 \mu m$, $L_{3-4} = 4000 \mu m$, $H = 1000 \mu m$,
 $d = 120 \mu m$

Komórka w postaci
pryzmy o podstawie
trójkąta równobocznego

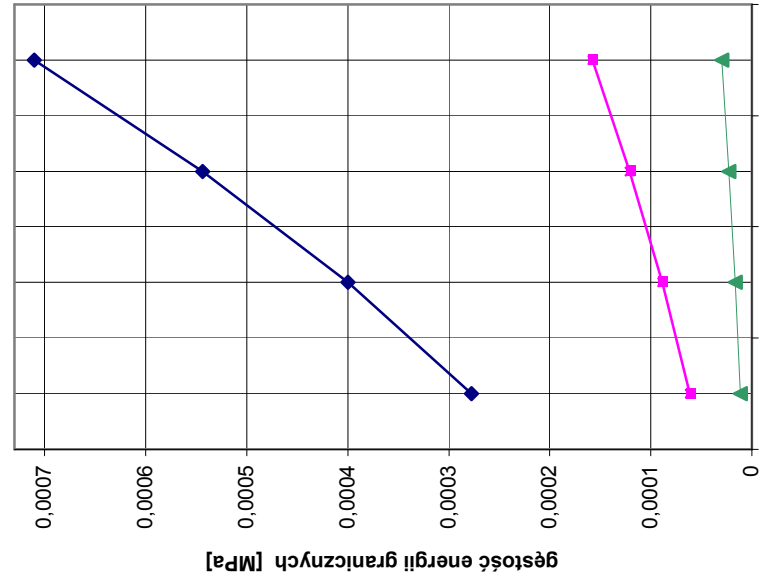


Komórka w postaci pryzmy
o podstawie sześciokąta
foremnego

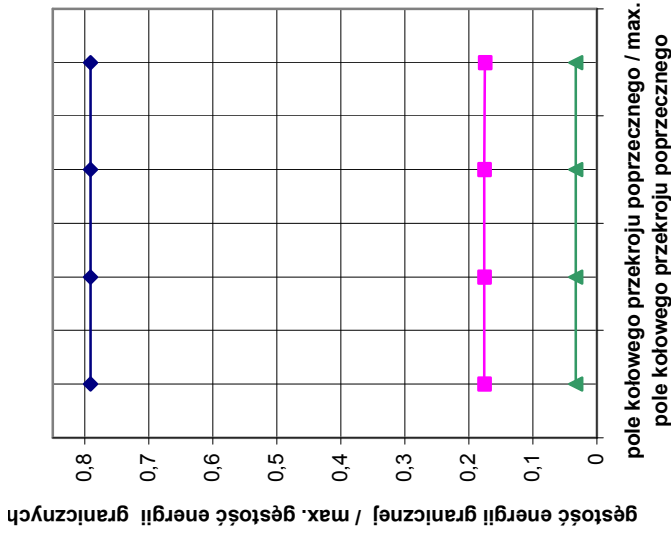


ANALIZA ROZKŁADU GĘSTOŚCI ENERGII GRANICZNYCH DLA SPREŻYSTYCH STANÓW WŁASNYCH Z PUNKTU WIDZENIA ZMIANY SZTYWNOSCI STRUKTURY KOMÓRKOWEJ

KOMÓRKA SZEŚCIENNA - SYMETRIA KUBICZNA



KOMÓRKA SZEŚCIENNA - SYMETRIA KUBICZNA



stop Cu-1%Ni,
 $E_s = 117 \text{ GPa}$, $G_s = 45 \text{ GPa}$,
 $R_e = 112 \text{ MPa}$, $L = 2000 \mu\text{m}$
 $d_1 = 93.76 \mu\text{m}$, $d_2 = 112.5 \mu\text{m}$,
 $d_3 = 131.3 \mu\text{m}$, $d_4 = 150 \mu\text{m}$,

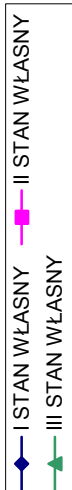
$$\frac{\Phi_I^{gr}}{\Phi_I^{gr} + \Phi_{II}^{gr} + \Phi_{III}^{gr}} = \frac{1800}{2275 + 6k^2 + 6k^2\nu}$$

$$\frac{\Phi_{II}^{gr}}{\Phi_I^{gr} + \Phi_{II}^{gr} + \Phi_{III}^{gr}} = \frac{400}{2275 + 12k^2 + 12k^2\nu}$$

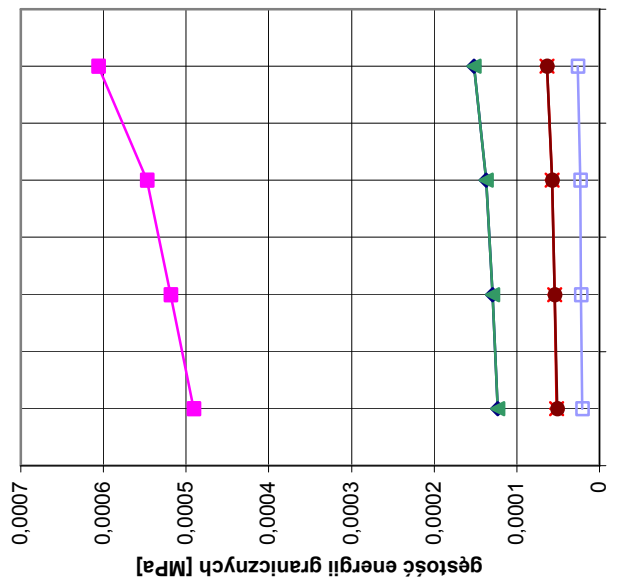
$$\frac{\Phi_{III}^{gr}}{\Phi_I^{gr} + \Phi_{II}^{gr} + \Phi_{III}^{gr}} = \frac{3(25 + 4k^2 + 4k^2\nu)}{2275 + 12k^2 + 12k^2\nu}$$

$$k = \frac{d}{d_{\max}} = 0.625; 1$$

ν – współczynnik Poissona dla elementu belkowego

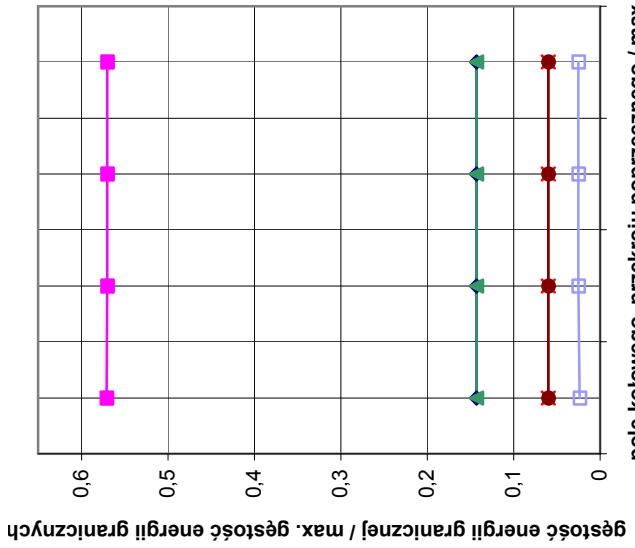


KOMÓRKA PROSTOPADŁOŚCIENNA . ORTOTROPIA



pole kołowego przekroju poprzecznego
[10^{-6} m^2]

KOMÓRKA PROSTOPADŁOŚCIENNA . ORTOTROPIA



geostyczność energii granicznych / max.
geostyczność energii granicznych

Stop Cu-1%Ni,

$$E_s = 117 \text{ GPa}, \quad G_s = 45 \text{ GPa},$$

$$R_e = 112 \text{ MPa},$$

$$L_{1-2} = 1000 \mu\text{m}, \quad L_{3-4} = 4000 \mu\text{m},$$

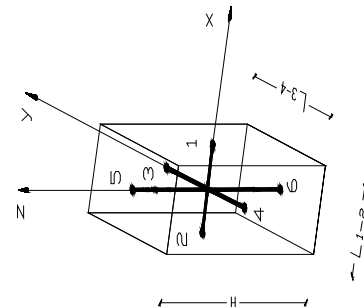
$$H = 1000 \mu\text{m}$$

$$d_1 = 108 \mu\text{m},$$

$$d_2 = 111 \mu\text{m},$$

$$d_3 = 114 \mu\text{m},$$

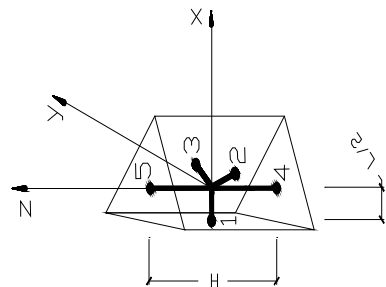
$$d_4 = 120 \mu\text{m}$$



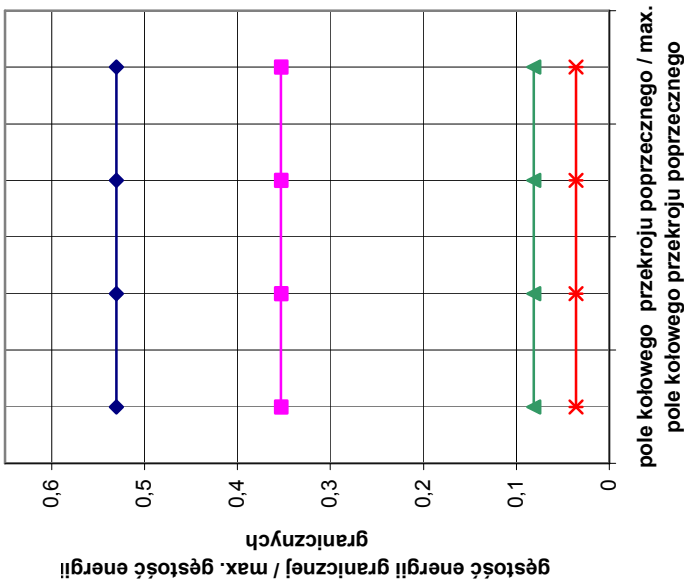
$\sim \angle_{1-2} \sim$

$$\Phi_I^{gr} = \Phi_{III}^{gr}, \quad \Phi_{IV}^{gr} \approx \Phi_{VI}^{gr}$$

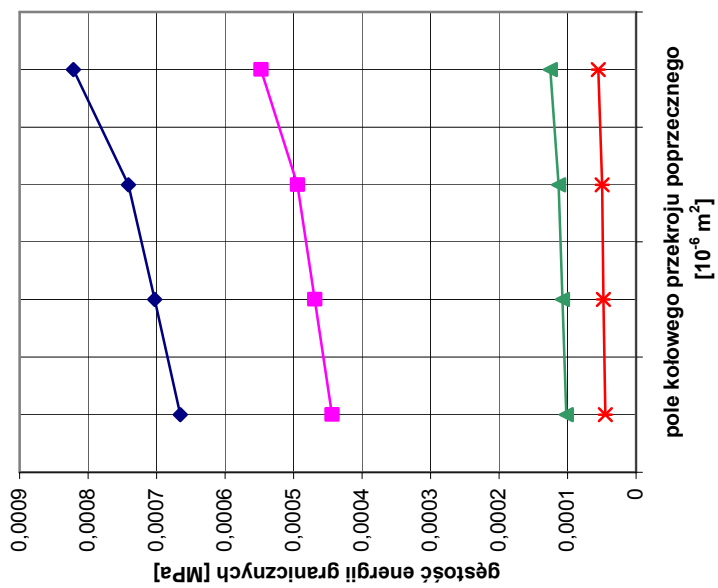
stop Cu-1%Ni,
 $E_s = 117 \text{ GPa}$, $G_s = 45 \text{ GPa}$,
 $R_e = 112 \text{ MPa}$,
 $L = 2000 \mu\text{m}$, $H = 2000 \mu\text{m}$
 $d_1 = 234 \mu\text{m}$,
 $d_2 = 240.5 \mu\text{m}$,
 $d_3 = 247 \mu\text{m}$,
 $d_4 = 260 \mu\text{m}$



**KOMÓRKA W POSTACI PRYZMY O
PODSTAWIE TRÓJKĄTA
RÓWNOBOCZNEGO - SYMETRIA
TRANSVERSALNE IZOTROPOWA**



**KOMÓRKA W POSTACI PRYZMY O
PODSTAWIE TRÓJKĄTA
RÓWNOBOCZNEGO - SYMETRIA
TRANSVERSALNE IZOTROPOWA**



**stop Cu-1%Ni,
 $E_s = 117 \text{ GPa}$, $G_s = 45 \text{ GPa}$,**

$R_e = 112 \text{ MPa}$,

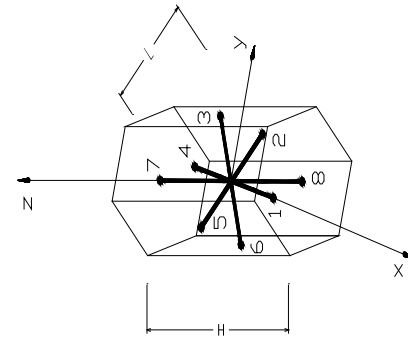
$L = 2000 \mu\text{m}$, $H = 2000 \mu\text{m}$

$d_1 = 78.3 \mu\text{m}$,

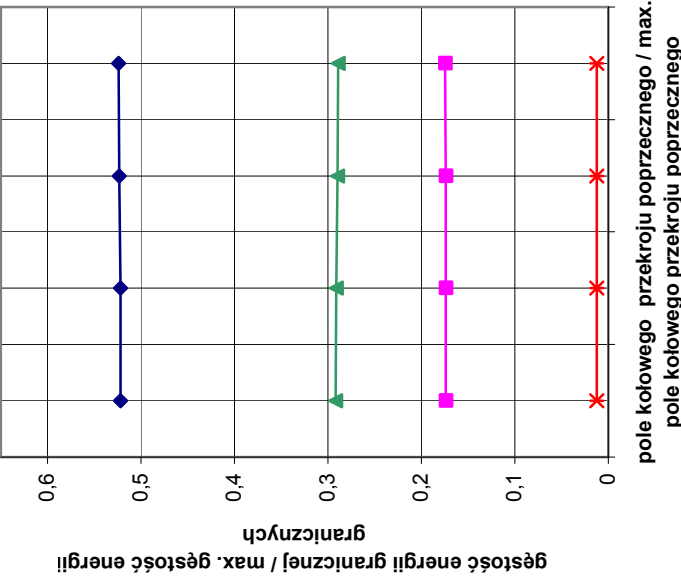
$d_2 = 80.47 \mu\text{m}$,

$d_3 = 84.82 \mu\text{m}$,

$d_4 = 87 \mu\text{m}$

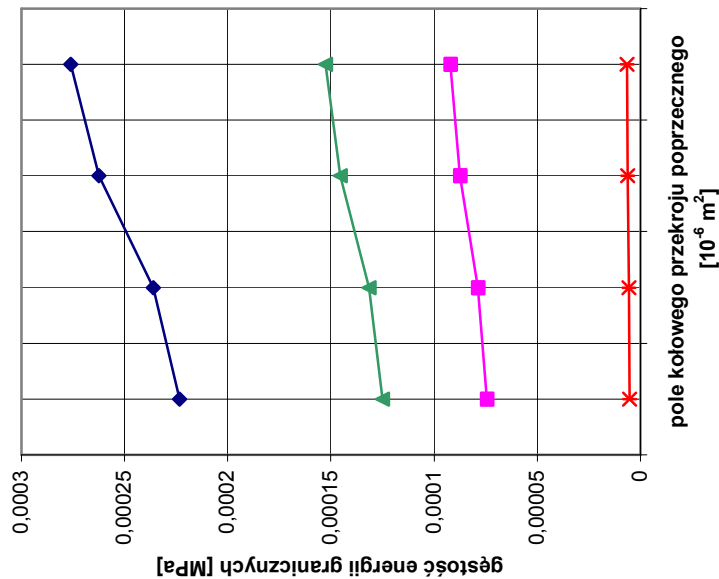


**KOMÓRKA W POSTACI PRYZMY O
 PODSTAWIE SZEŚCIOKĄTA
 FOREMNEGO - SYMETRIA
 TRANSVERSALNIE IZOTROPOWA**



— I STAN WŁASNY ■ II STAN WŁASNY
 ▲ III STAN WŁASNY * IV STAN WŁASNY

**KOMÓRKA W POSTACI PRYZMY O
 PODSTAWIE SZEŚCIOKĄTA
 FOREMNEGO - SYMETRIA
 TRANSVERSALNIE IZOTROPOWA**



— I STAN WŁASNY ■ II STAN WŁASNY
 ▲ III STAN WŁASNY * IV STAN WŁASNY

PORÓWNANIE OTRZYMANYCH REZULTATÓW Z DANYMI PREZENTOWANYMI W LITERATURZE

PORÓWNANIE NA POZIOMIE MODELU BELKOWEGO

Pianka węglowa

Rozwiązańanie analityczne wg S. Choi i B. V. Sankar [2005]:

$$E^* = 134.632 \text{ GPa}, G^* = 3.486 \text{ GPa}, \sigma^* = \sigma^{gr} = 3.599 \text{ MPa}$$

Wyniki doświadczalne wg S. Choi i B. V. Sankar [2005]:

$$E^* = 124 \text{ GPa}, \sigma^* = \sigma^{gr} = 3.5805 \text{ MPa}$$

Rozwiązańania analityczne wg obliczeń własnych:

$$E^* = 134.632 \text{ GPa}, G^* = 2.919 \text{ GPa}, \sigma^* = \sigma^{gr} = 3.414 \text{ MPa}$$

Błąd oceny naprężenia granicznego otrzymanego z energetycznego kryterium J. Rychlewskiego porównując z wynikami doświadczalnymi jest równy:

$$\frac{3.5805 - 3.414}{3.5805} 100\% = 4.6\%. \quad \text{Błąd oceny naprężenia granicznego otrzymanego z rozwiązania podanego w pracy S. Choi i B. V. Sankar [2005] porównując z wynikami doświadczalnymi jest równy: } \frac{3.5805 - 3.599}{3.5805} 100\% = -0.5\%.$$

Pianka aluminiowa

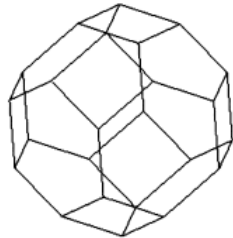
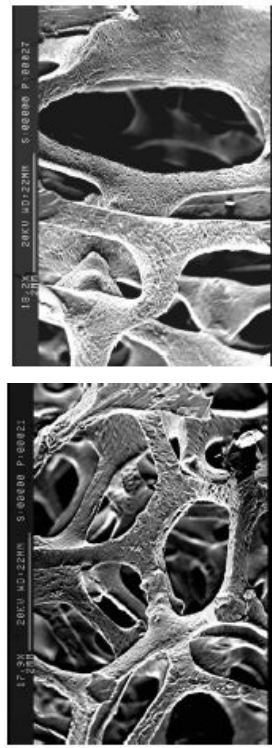
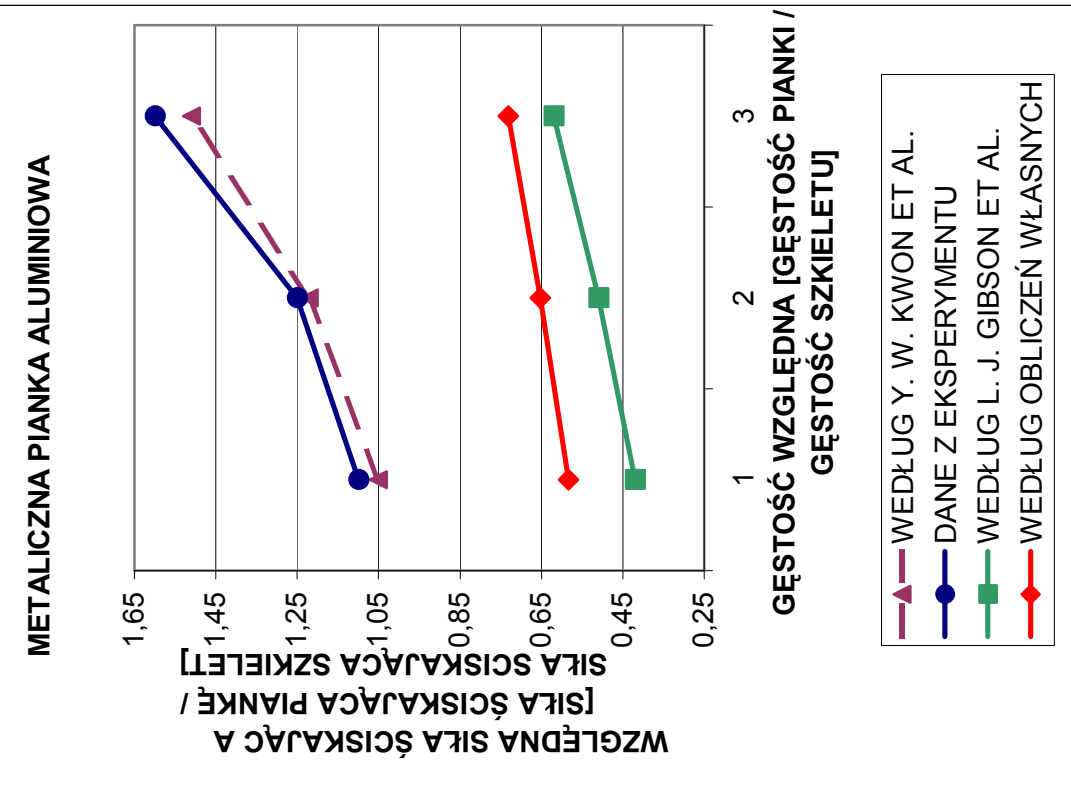
Wymiary i charakterystyki materiałowe elementów reprezentatywnej komórki (Y. W. Kwon, R. E. Cooke, C. Park [2003]):

$$E_s = 70 \text{ GPa}, \sigma_s = R_e = 240 \text{ MPa},$$

$$V_s = 0.3, \rho_s^* = 2.70 \text{ g/cm}^3.$$

Porównano pianki aluminiowe o trzech gęstościach względnych:

$$\frac{\rho}{\rho_s^*} = 0.061, \frac{\rho}{\rho_s^*} = 0.068, \frac{\rho}{\rho_s^*} = 0.077.$$



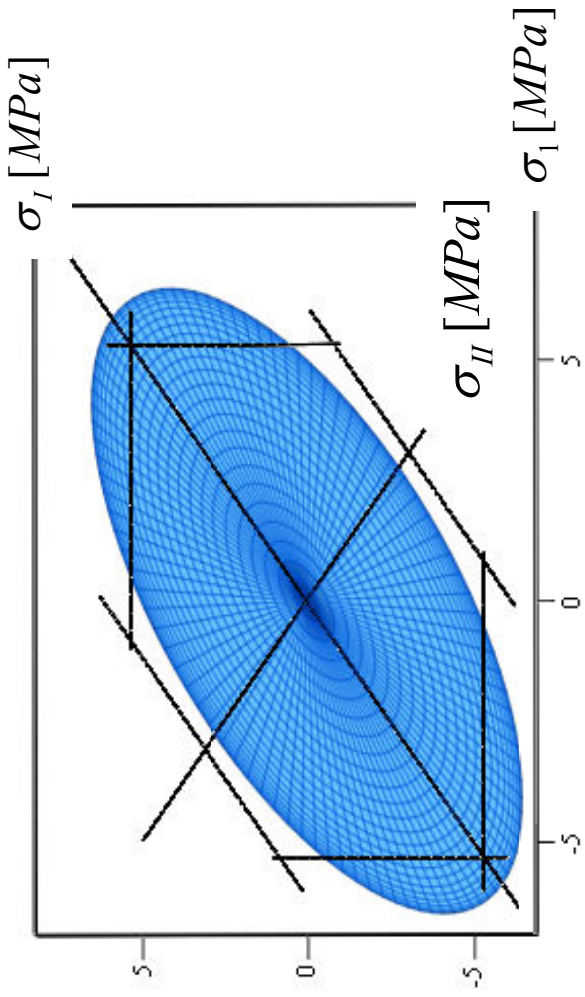
PORÓWNANIE MODELU BELKOWEGO Z INNYMI MODELAMI

- 42 -

Porównano rozwiązania otrzymane dla reprezentatywnej komórki sześciennej w płaskim stanie naprężenia dla następujących danych dotyczących materiału szkieletu:

$$\text{aluminium, } E_s = 55 \text{ GPa, } \nu_s = 0.3, \text{ objętość względna } V_f = 0.16, \quad G_s = \frac{E_s}{2(1 + \nu_s)}.$$

$\sigma_2 [MPa]$

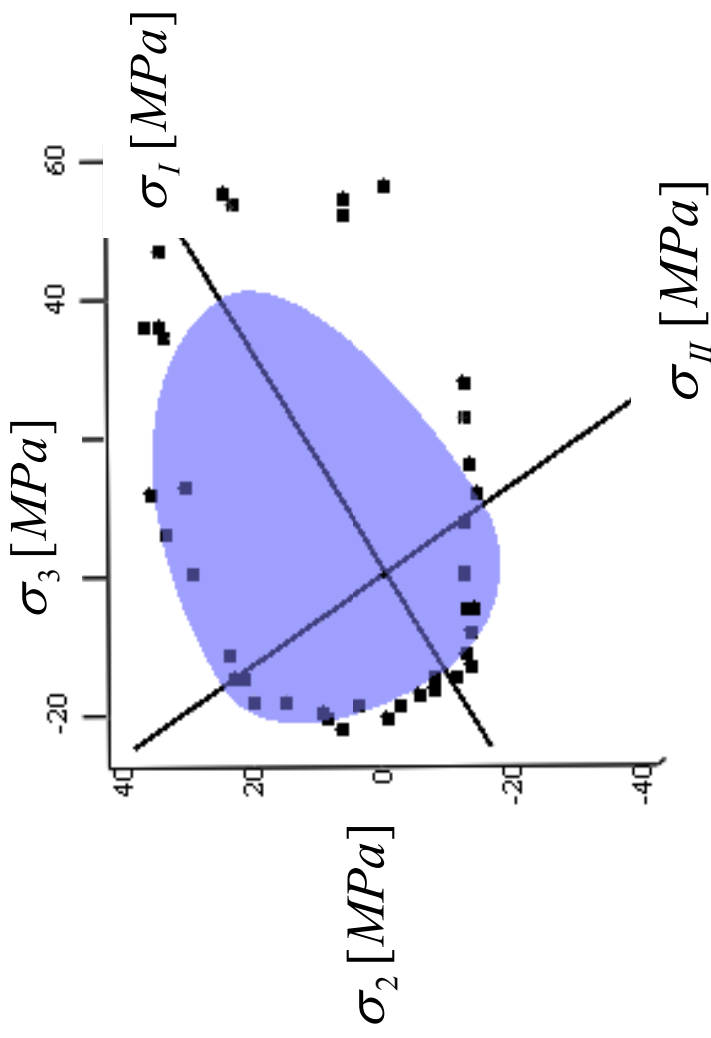


Model sześciennej struktury komórkowej wg pracy J. Aboudi, R. Gilat [2005]

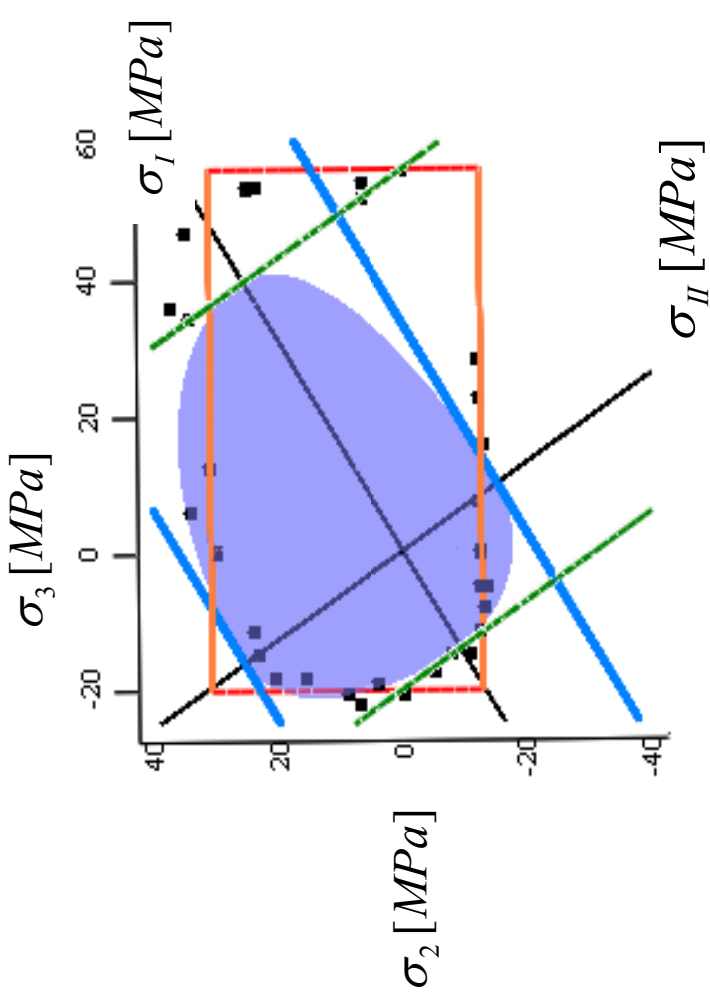
Porównanie powierzchni granicznych wg obliczeń własnych z wartościami prezentowanymi w pracy J. Aboudi, R. Gilat [2005].

PORÓWNANIE OBLICZEŃ ANALITYCZNYCH Z DOŚWIADCZENIEM

- 43 -



Porównanie obliczeń analitycznych z danymi z eksperymentu na przykładzie tekstury J. C. Suhling et al. [1985] i M. W. Biegler et al. [1995]

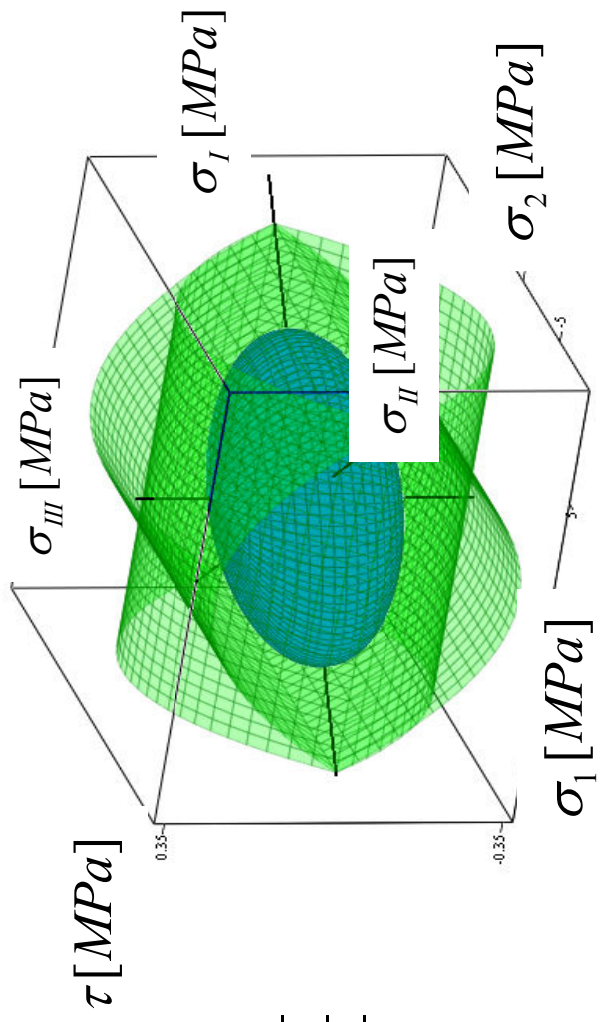
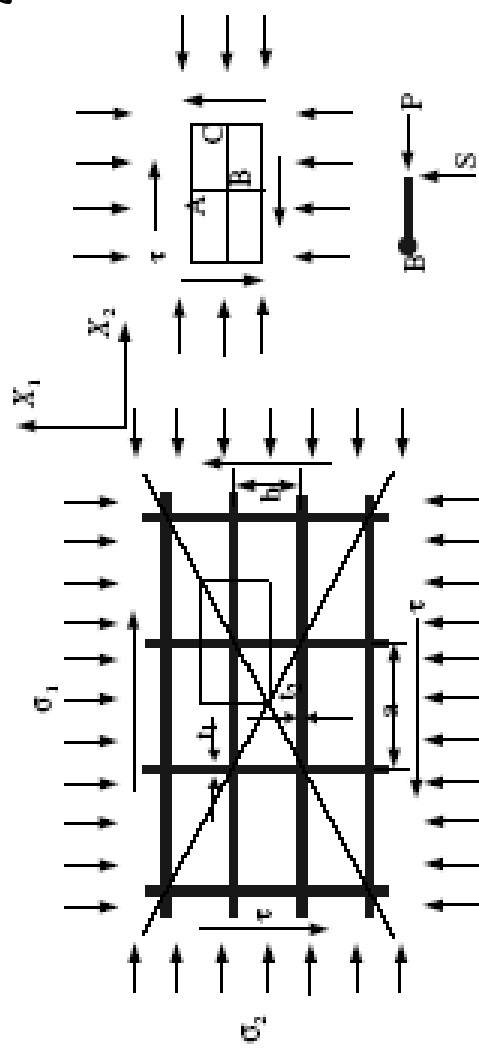


Porównanie obliczeń analitycznych własnych i Y. A. Arramon et al., [2000] z danymi z eksperymentu na przykładzie tektonury

ZASTOSOWANIE MODELU BELKOWEGO DLA MATERIAŁÓW O STRUKTURZE PLASTRA MIODU

Model wg pracy A. J. Wang, D. L. McDowell [2004]
dla plastra miodu o podstawie prostokąta

(dla kwadratu $a = b = l$, $t_1 = t_2 = t$):



Równanie powierzchni granicznej
wg A. J. Wang, D. L. McDowell [2004]:

$$\max \left\{ \left[\frac{b}{a} \left(\frac{\sigma_2}{\sigma_{ys}} \right)^2 + 2 \frac{|\tau|}{\sigma_{ys}} - \frac{(t_2)^2}{ab} \right], \left[\frac{a}{b} \left(\frac{\sigma_1}{\sigma_{ys}} \right)^2 + 2 \frac{|\tau|}{\sigma_{ys}} - \frac{(t_1)^2}{ab} \right] \right\} = 0$$

Powierzchnie graniczne dla stopu Cu–1%Ni $E_s = 117 \text{ GPa}$, $G_s = 45 \text{ GPa}$, $R_e = 112 \text{ MPa}$,
 $L = 2000 \mu\text{m}$, $d = 150 \mu\text{m}$, pasmo o szerokości $H = 2000 \mu\text{m}$.

Porównując wartość naprężenia granicznego otrzymanego z eksperymentu (A. M. Hayes et al. [2004]) dla stopu 18Ni(350) otrzymujemy:

Rozwiążanie analityczne
wg A. J. Wang, D. L. McDowell [2005]:

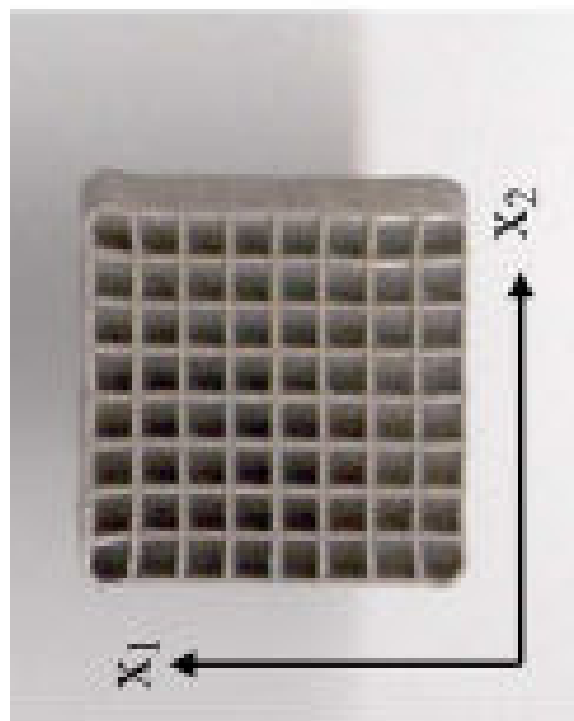
$$\sigma^* = \sigma^{gr} = 200 \text{ MPa}$$

Wyniki doświadczalne wg A. M. Hayes et al. [2004]:

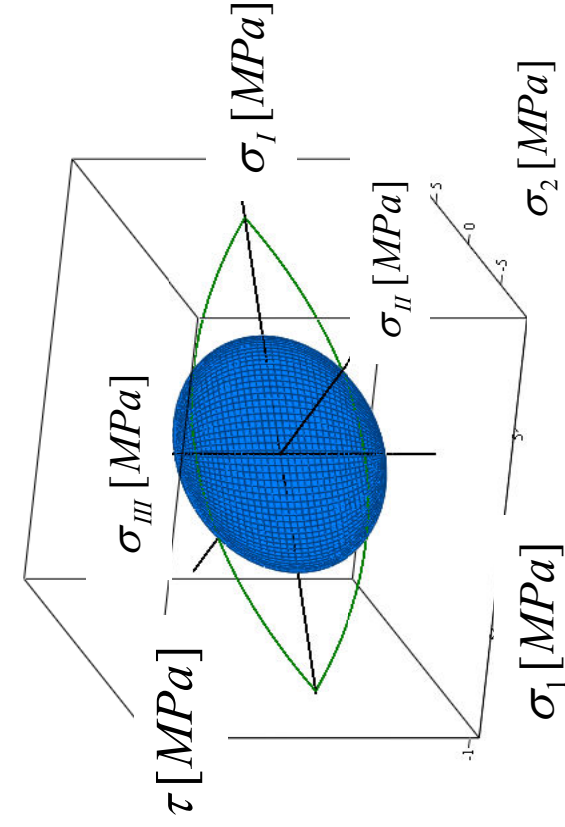
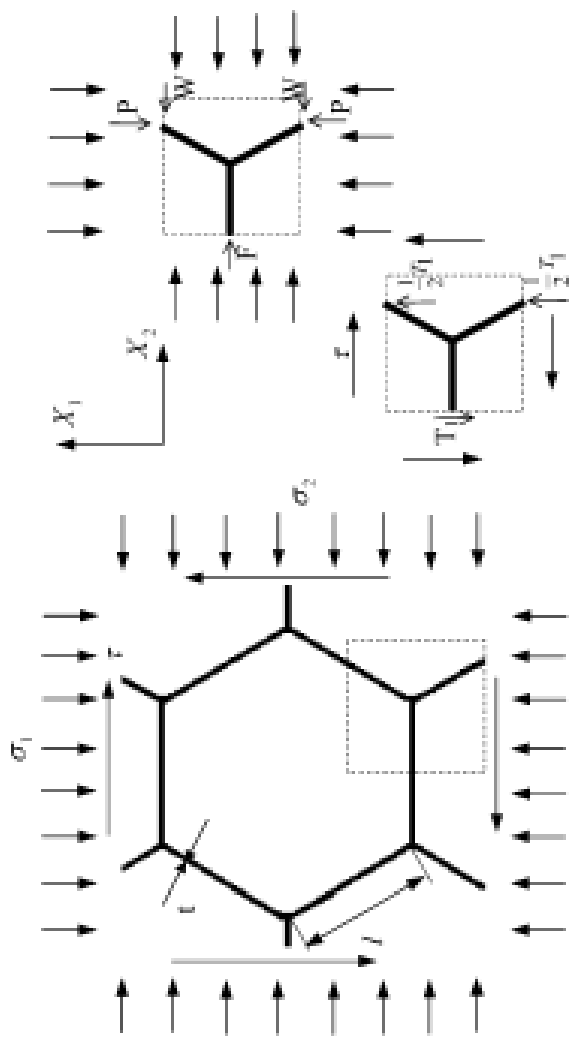
$$\sigma^* = \sigma^{gr} = 68 \text{ MPa}$$

Rozwiążania analityczne wg obliczeń własnych:

$$\sigma^* = \sigma^{gr} = 67.251 \text{ MPa}$$



Model wg A. J. Wang, D. L. McDowell [2004]
dla plastra miodu o podstawie sześciokąta foremnego:



Równanie powierzchni granicznej
wg A. J. Wang, D. L. McDowell [2004]:

$$\max \left\{ \left[\frac{3(3(\sigma_1 + \tau) + \sigma_2)^2}{16(\sigma_{ys})^2} + \frac{3|\sigma_2 - (\sigma_1 + \tau)|}{2\sigma_{ys}} - \frac{t^2}{l^2} \right], \left[3 \frac{(\sigma_1)^2}{(\sigma_{ys})^2} + 2\sqrt{3} \frac{|\tau|}{\sigma_{ys}} - \frac{t^2}{l^2} \right] \right\} = 0$$

Powierzchnie graniczne dla stopu Cu–1% $E_s = 117 \text{ GPa}$, $G_s = 45 \text{ GPa}$, $R_e = 112 \text{ MPa}$,
 $L = 2000 \mu\text{m}$, $d = 260 \mu\text{m}$, pasmo o szerokości $H = 2000 \mu\text{m}$.

WNIOSKI

- Wyznaczenie analitycznej postaci wzorów dla granicznych energii sprężystych pozwala modelować rozkłady sztywności struktury z punktu widzenia wytrzymałości.
- Daje to możliwość projektowania materiałów z uwzględnieniem przyjętych własności mechanicznych wynikających z założonej funkcji, które mają spełniać.
- Otrzymane wyniki dają możliwość budowania fizycznych podstaw teorii wytrzymałości anizotropowych.

Literatura

- [1] J. Aboudi, R. Gilat: Micromechanical analysis of lattice blocks, International Journal of Solids and Structures 42, 2005, 4372-4392
- [2] Y. A. Arramon, M. M. Mehrabadi, D. W. Martin, S. C. Cowin: A multidimensional anisotropic strength criterion based on Kelvin modes, International Journal of Solids and Structures, 37, 2000, 2915-2935
- [3] M. W. Biegler, M. M. Mehrabadi: An energy-based constitutive model for anisotropic solids subject to damage, Mechanics of Materials, 19, 1995, 151-164
- [4] L. J. Gibson, M. F. Ashby: Cellular solids: Structure and properties, Cambridge University Press 1997
- [5] A. M. Hayes, A. Wang, B. M. Dempsey, D. L. McDowell: Mechanics of linear cellular alloys, Mechanics of Materials 36, 2004, 691-713
- [6] M. Janus-Michalska, R. B. Pęcherski: Macroscopic properties of open-cell foams based on micromechanical modelling, Technische Mechanik, 2003, 23, 234-244
- [7] M. M. Mehrabadi, S. C. Cowin: Eigentensors of linear anisotropic elastic materials, Mech. appl. Math. 1990 Vol 43, 15-41
- [8] K. T Nalepka, R. B. Pęcherski: Energetyczne kryteria wytrzymałości. Propozycja obliczania granicznych energii z pierwszych zasad, Rudy Metale, 2003, r. 48, 533÷536
- [9] S. Nemat-Nasser, M. Hori: Micromechanics; overall properties of heterogeneous materials, Second Revised Edition, N H, 1999
- [10] J. Ostrowska-Maciejewska, K. Kowalczyk-Gajewska: Matematyczne podstawy anizotropii spłaszczonej z przykładami, Wykłady w Katedrze Wytrzymałości Materiałów, IMB PK, 22 03 2004
- [11] J. Rychlewski: CEIIINOSSSTTUW, Математическая структура упругих тел, Препринт N 217, Москва 1983
- [12] J. Rychlewski: О законе Гука, ПММ, 48, 3, 420-432, 1984(а)
- [13] J. Rychlewski: Разложение упругой энергии и критерии предельности, Успехи Механики—Advances in Mechanics, 1984(b), t.7, s. 51-80
- [14] J. Rychlewski: Unconventional approach to linear elasticity, Arch. Mech., 47, 149 – 171, 1995
- [15] A. J. Wang, D. L. McDowell: In-Plane Stiffness and Yield Strength of Periodic Metal Honeycombs, Journal of Engineering Materials and Technology, 2004
- [16] A. J. Wang, D. L. McDowell: Yield surfaces of various periodic metal honeycombs at intermediate relative density, International af of Plasticity, 2005

TENSORY \mathbf{S} , \mathbf{C} , \mathbf{H} NIE SĄ WSPÓŁOSIOWE

Twierdzenie dotyczące energetycznej interpretacji warunku granicznego jest sformułowane dla dowolnych tensorów \mathbf{S} , \mathbf{C} i \mathbf{H} .
Daje to możliwość rozpatrywania różnych typów symetrii materiału w stanie sprężystym i w stanie granicznym.

1. K. Kowalczyk, J. Ostrowska-Maciejewska, R. B. Pęcherski;
„An energy-based yield criterion for solids of cubic elasticity and orthotropic limit state”,
Arch. Mech., 2003, t. 55, s. 431–448
2. J. Ostrowska-Maciejewska, R. B. Pęcherski,:
„Anizotropia sprężysta i wytężenie cienkich warstw i powłok”,
MIiM PAN – IPPT PAN, Kraków 2006

Warunek graniczny typu Mises'a przyjmuje postać

$$\boldsymbol{\sigma} \cdot \mathbf{H} \cdot \boldsymbol{\sigma} = \frac{1}{h_1} \phi(\boldsymbol{\sigma}_1) + \frac{1}{h_2} \phi(\boldsymbol{\sigma}_2) + \dots + \frac{1}{h_\rho} \phi(\boldsymbol{\sigma}_\rho) = \frac{\sigma_1^2}{k_1^2} + \frac{\sigma_2^2}{k_2^2} + \dots + \frac{\sigma_\rho^2}{k_\rho^2} \leq 1$$

gdzie:

$$h_\alpha = \frac{k_\alpha^2}{2\lambda_\alpha}$$

jest graniczną wartością energii sprezystej dla naprężenia $\boldsymbol{\sigma}_\alpha$ - $\Phi(\boldsymbol{\sigma}_\alpha) = \frac{1}{h_\alpha} \frac{\sigma_\alpha^2}{2\lambda_\alpha} = \frac{\sigma_\alpha^2}{k_\alpha^2}$,

przestrzeń \mathcal{P}_α jest przestrzenią stanów bezpiecznych jeśli $k_\alpha \rightarrow \infty$.

Dla tensora podatności rozkład spektralny ma postać

$$\mathbf{C} = \frac{1}{\lambda_1} \mathbf{P}_1 + \dots + \frac{1}{\lambda_\rho} \mathbf{P}_\rho$$

gdzie tensor \mathbf{P}_k jest projektorem ortogonalnym dla tensora \mathbf{C} ,
w stanie sprezystym materiał posiada symetrię kubiczną: $k=I, II, III$

$$\mathbf{P}_I = \frac{1}{3} \mathbf{1} \otimes \mathbf{1}$$

$$\mathbf{P}_II = (\mathbf{K} - \frac{1}{3} \mathbf{1} \otimes \mathbf{1})$$

$$\mathbf{P}_{III} = (\mathbf{I}_S - \mathbf{K})$$

gdzie:

$$\mathbf{C} \circ \mathbf{S} = \mathbf{S} \circ \mathbf{C} = \mathbf{I}_S,$$

$$\begin{aligned}\mathbf{K} &= \mathbf{m}_1 \otimes \mathbf{m}_1 \otimes \mathbf{m}_1 + \mathbf{m}_2 \otimes \mathbf{m}_2 \otimes \mathbf{m}_2 + \mathbf{m}_3 \otimes \mathbf{m}_3 \otimes \mathbf{m}_3 \\ \mathbf{m}_1, \mathbf{m}_2, \mathbf{m}_3 &\text{ - kierunki elementarnego sześcięciangu}\end{aligned}$$

Graniczna wartość energii sprężystej ma postać

$$\begin{aligned}\Phi(\boldsymbol{\sigma}) &= \frac{1}{2} \boldsymbol{\sigma} \cdot \mathbf{C} \cdot \boldsymbol{\sigma} = \Phi^I(\boldsymbol{\sigma}) + \Phi^{II}(\boldsymbol{\sigma}) + \Phi^{III}(\boldsymbol{\sigma}) = \\ &= \frac{1}{6} \frac{1}{\lambda_I} (tr \boldsymbol{\sigma})^2 + \frac{1}{2} \frac{1}{\lambda_{II}} [\boldsymbol{\sigma} \cdot \mathbf{K} \cdot \boldsymbol{\sigma} - \frac{1}{3} (tr \boldsymbol{\sigma})^2] + \frac{1}{2} \frac{1}{\lambda_{III}} [tr \boldsymbol{\sigma}^2 - \boldsymbol{\sigma} \cdot \mathbf{K} \cdot \boldsymbol{\sigma}]\end{aligned}$$

Dla tensora granicznego rozkład spektralny ma postać

$$\mathbf{H} = \frac{1}{K_1} \Gamma_1 + \dots + \frac{1}{K_6} \Gamma_6$$

gdzie tensor $\Gamma_1, \dots, \Gamma_6$ jest projektorem ortogonalnym dla tensora \mathbf{H} , w stanie granicznym materiał wykazuje ortotropię

$$\Gamma_1 = \boldsymbol{\chi}_1 \otimes \boldsymbol{\chi}_1, \dots, \Gamma_6 = \boldsymbol{\chi}_6 \otimes \boldsymbol{\chi}_6$$

$$\boldsymbol{\chi}_1 = \frac{1}{\sqrt{3}} \mathbf{I}, \boldsymbol{\chi}_2 = \cos \varphi \mathbf{a}_H + \sin \varphi \mathbf{a}_M, \boldsymbol{\chi}_3 = -\sin \varphi \mathbf{a}_H + \cos \varphi \mathbf{a}_M$$

$$\boldsymbol{\chi}_4 = \frac{1}{\sqrt{2}} (\mathbf{m}_2 \otimes \boldsymbol{\chi}_3 + \mathbf{m}_3 \otimes \mathbf{m}_2), \boldsymbol{\chi}_5 = \frac{1}{\sqrt{2}} (\mathbf{m}_1 \otimes \boldsymbol{\chi}_3 + \mathbf{m}_3 \otimes \mathbf{m}_1)$$

$$\boldsymbol{\chi}_6 = \frac{1}{\sqrt{2}} (\mathbf{m}_1 \otimes \boldsymbol{\chi}_2 + \mathbf{m}_2 \otimes \mathbf{m}_1)$$

$$\text{gdzie: } \mathbf{a}_H = \frac{1}{\sqrt{2}} (\mathbf{m}_1 \otimes \mathbf{m}_1 + \mathbf{m}_2 \otimes \mathbf{m}_2), \quad \mathbf{a}_M = \frac{1}{\sqrt{6}} (\mathbf{m}_1 \otimes \mathbf{m}_1 + \mathbf{m}_2 \otimes \mathbf{m}_2 - 2\mathbf{m}_3 \otimes \mathbf{m}_3)$$

φ – dystrybuter wytrzymałości wyznaczony przez współrzędne tensora \mathbf{H}

Uwzględniając

$$\Gamma_1 = \mathbf{P}_I, \quad \Gamma_2 + \Gamma_3 = \mathbf{P}_{II}, \quad \Gamma_4 + \Gamma_5 + \Gamma_6 = \mathbf{P}_{III}$$

Rozkład spektralny tensora podatności ma postać

$$\mathbf{C} = \frac{1}{\lambda_I} \Gamma_1 + \frac{1}{\lambda_{II}} (\Gamma_2 + \Gamma_3) + \frac{1}{\lambda_{III}} (\Gamma_4 + \Gamma_5 + \Gamma_6)$$

Wartość h wyznaczamy z zależności $\det(\mathbf{H} - \frac{1}{2h}\mathbf{C}) = 0$:

$$h_1 = \frac{K_1}{2\lambda_I} \rightarrow \infty, \quad h_2 = \frac{K_2}{2\lambda_{II}}, \quad h_3 = \frac{K_3}{2\lambda_{III}},$$

$$h_4 = \frac{K_4}{2\lambda_{III}}, \quad h_5 = \frac{K_5}{2\lambda_{III}}, \quad h_6 = \frac{K_6}{2\lambda_{III}}$$

Warunek graniczny ma postać

$$\boldsymbol{\sigma} \cdot \mathbf{H} \cdot \boldsymbol{\sigma} = \frac{2\lambda_{II}}{K_2} \phi(\boldsymbol{\sigma}_2) + \frac{2\lambda_{II}}{K_3} \phi(\boldsymbol{\sigma}_3) + \frac{2\lambda_{III}}{K_4} \phi(\boldsymbol{\sigma}_4) + \frac{2\lambda_{III}}{K_5} \phi(\boldsymbol{\sigma}_5) + \frac{2\lambda_{III}}{K_6} \phi(\boldsymbol{\sigma}_6) \leq 1$$

$$\phi^{II} = \phi(\boldsymbol{\sigma}_2) + \phi(\boldsymbol{\sigma}_3), \quad \phi^{III} = \phi(\boldsymbol{\sigma}_4) + \phi(\boldsymbol{\sigma}_5) + \phi(\boldsymbol{\sigma}_6)$$

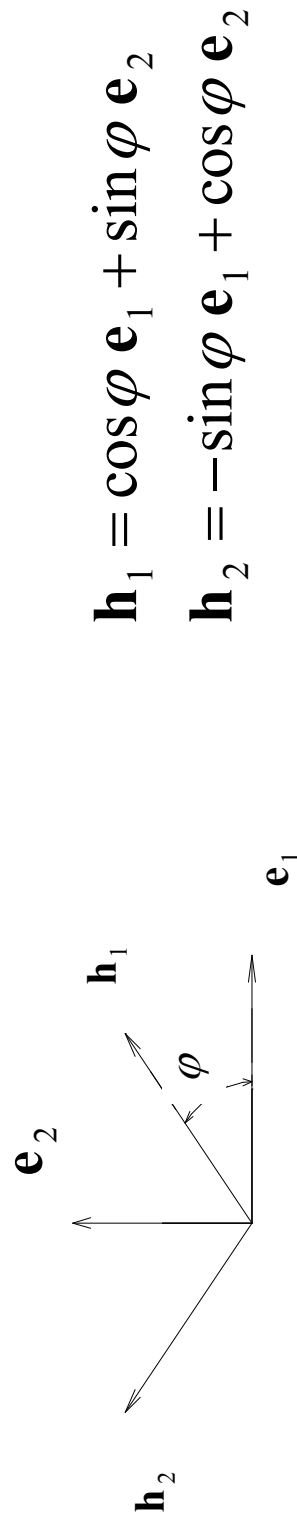
Ad 2

Aby podać warunek graniczny dla płaskich stanów, który ma charakter energetyczny wykorzystane jest twierdzenie dotyczące energetycznej interpretacji warunku granicznego.

Rozpatrywany materiał jest symetryczny zarówno w stanie sprężystym jak również w stanie granicznym. Dla stanów płaskich materiał posiada wówczas co najmniej symetrię prostokąta – jest materiałem ortotropowym.

Założono, że materiał jest ortotropowy w stanie sprężystym i granicznym o różnych osiach symetrii i różnych dystrybutورach.

W stanie sprężystym osiami symetrii są kierunki \mathbf{e}_1 i \mathbf{e}_2 na płaszczyźnie fizycznej. W stanie granicznym osiami symetrii są kierunki \mathbf{h}_1 i \mathbf{h}_2 obrócone względem \mathbf{e}_1 i \mathbf{e}_2 o kąt φ



W przestrzeni trójwymiarowej \mathcal{S} rozpatrywane są cztery ortonormalne bazy

$$\mathbf{a}_1, \mathbf{a}_2, \mathbf{a}_3, \rightarrow \boldsymbol{\omega}_I, \boldsymbol{\omega}_H, \boldsymbol{\omega}_{III}, \quad \mathbf{b}_1, \mathbf{b}_2, \mathbf{b}_3, \rightarrow \mathbf{n}_I, \mathbf{n}_H, \mathbf{n}_{III},$$

gdzie $\boldsymbol{\omega}_K$ i \mathbf{n}_L są stanami własnymi tensorów \mathbf{C}^p i \mathbf{H}^p .

Ich rozkłady spektralne mają postać:

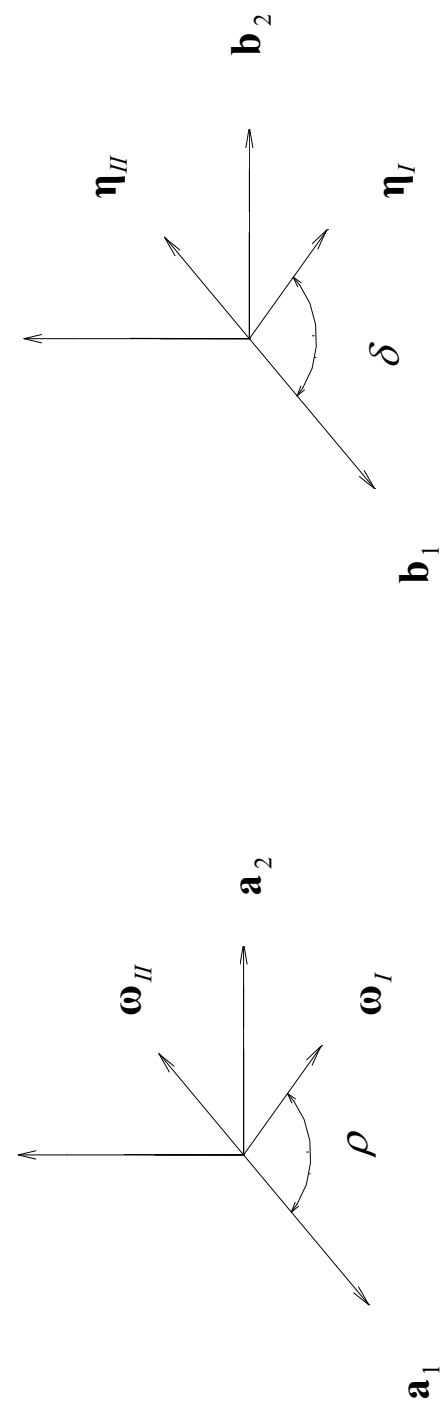
$$\mathbf{C}^p = \frac{1}{\lambda_1} \boldsymbol{\omega}_I \otimes \boldsymbol{\omega}_I + \frac{1}{\lambda_2} \boldsymbol{\omega}_H \otimes \boldsymbol{\omega}_H + \frac{1}{\lambda_3} \boldsymbol{\omega}_{III} \otimes \boldsymbol{\omega}_{III},$$

$$\mathbf{H}^p = \frac{1}{\chi_1^2} \mathbf{n}_I \otimes \mathbf{n}_I + \frac{1}{\chi_2^2} \mathbf{n}_H \otimes \mathbf{n}_H + \frac{1}{\chi_3^2} \mathbf{n}_{III} \otimes \mathbf{n}_{III}.$$

Stany własne $\mathbf{H}^p - \mathbf{n}_K$ rozłożono w bazie stanów własnych $\mathbf{C}^p - \boldsymbol{\omega}_K$

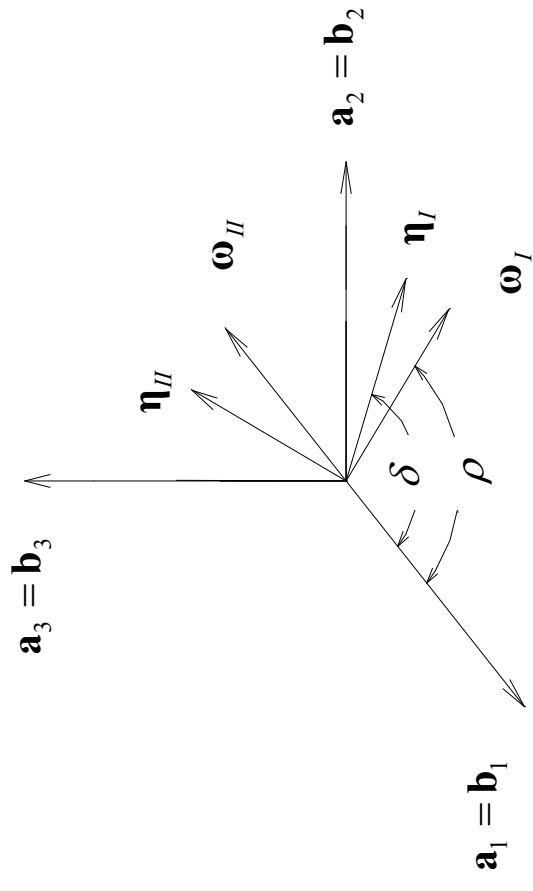
$$\mathbf{a}_3 = \boldsymbol{\omega}_{III}$$

$$\mathbf{b}_3 = \mathbf{n}_{III}$$



W pracy dyskutowane jest kryterium J. Rychlewskiego dla różnych symetrii

- 1). $\varphi = 0$ - przypadek, gdy osie symetrii w stanie sprzążystym i granicznym pokrywają się ($\mathbf{e}_i = \mathbf{h}_i$)



- 2). $\rho = \frac{\pi}{4}$ $\varphi \neq 0$
- 3). $\delta = \frac{\pi}{4}$ $\varphi \neq 0$
- 4). $\rho = \delta$ $\varphi \neq 0$

Komórka szescienna

Wartość naprężenia granicznego w płaszczyźnie podstawy (x, y) przedstawia zależność:

$$\sigma^{gr} = \pm \frac{3 R_e \frac{I A}{L^2}}{\sqrt{10 I^2 + 27 I^2 \sin^4 \alpha + 3 \sin^2 \alpha h^2 L^2 A^2 - 3 \sin^4 \alpha h^2 L^2 A^2 - 27 I^2 \sin^2 \alpha}}$$

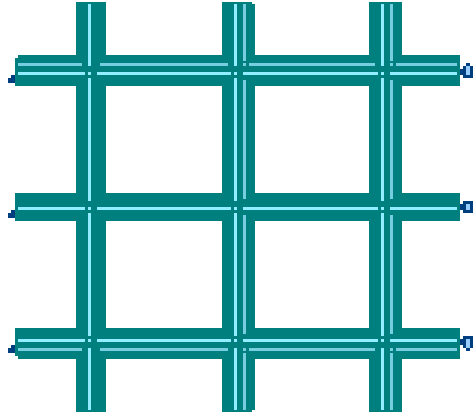
gdzie α jest dowolnym kierunkiem obciążenia.

Przyjmując σ^{gr} i $\alpha = \frac{\pi}{2}$ (rozciągnięcie wzduż osi y) dla dowolnego materiału (wzór jest uniwersalny) w żadnym przecie struktury nie jest przekroczona granica plastyczności R_e elementu belkowego, dla stali $E = 205 GPa$, $G = 80.8 GPa$,

$$R_e = 215 MPa, \quad \sigma^{z_{programu\ Robot}} = 201 MPa$$

błąd oceny naprężenia granicznego otrzymanego z energetycznego kryterium J. Rychlewskiego jest równy:

$$\frac{R_e - \sigma^{z_{programu\ Robot}}}{R_e} \cdot 100\% = 6.5\%$$



Komórka prostopadłościenna

Wartość naprężenia granicznego w płaszczyźnie podstawy (x, y) przedstawia zależność:

$$\sigma^{gr} = \pm [2(4L_{3-4}^2 I^2 - 8L_{3-4}^2 I^2 \sin^2 \alpha + 4L_{3-4}^2 I^2 \sin^4 \alpha + 4\sin^4 \alpha L_{1-2}^2 I^2 +$$

$$+ \sin^2 \alpha h^2 L_{1-2}^2 L_{3-4}^2 A^2 - \sin^4 \alpha h^2 L_{1-2}^2 L_{3-4}^2 A^2)^{1/2} R_e I \frac{A}{R_e}] / [-4L_{3-4}^2 I^2 +$$

$$-8L_{3-4}^2 I^2 \sin^2 \alpha - 4L_{3-4}^2 I^2 \sin^4 \alpha - 4\sin^4 \alpha L_{1-2}^2 I^2 - \sin^2 \alpha h^2 L_{1-2}^2 L_{3-4}^2 A^2 +$$

$$+ \sin^4 \alpha h^2 L_{1-2}^2 L_{3-4}^2 A^2]$$

gdzie α jest dowolnym kierunkiem obciążenia.

Przyjmując σ^{gr} i $\alpha = \frac{\pi}{2}$ (rozciągnięcie wzduż osi y) dla dowolnego materiału (wzór jest uniwersalny) W żadnym przecie struktury nie jest przekroczona granica plastyczności R_e elementu belkowego, dla stali $E = 205 GPa$, $G = 80.8 GPa$,

$$R_e = 215 MPa, \quad \sigma^{z programu Robot} = 210.83 MPa$$

błąd oceny naprężenia granicznego otrzymanego z energetycznego kryterium J. Rychlewskiego jest równy:

$$\frac{R_e - \sigma^{z programu Robot}}{R_e} \cdot 100\% = 1.9\%$$

Komórka w postaci pryzmy o podstawie trójkąta równobocznego

Wartość naprężenia granicznego w płaszczyźnie podstawy (x, y) przedstawia zależność:

$$\begin{aligned}\sigma^{gr} = & \pm [2((35067 I^2 - 72 L^2 h^2 A^2 \sqrt{3} + 981 L^2 h^2 A^2 + 576 L I h A \sqrt{3} + \\& 7848 L I h A)(6457 - 384\sqrt{3}))^{1/2} I A \frac{R_e}{L H}] / [35067 I^2 + 72 L^2 h^2 A^2 \sqrt{3} + \\& + 981 L^2 h^2 A^2 + 576 L I h A \sqrt{3} + 7848 L I h A]\end{aligned}$$

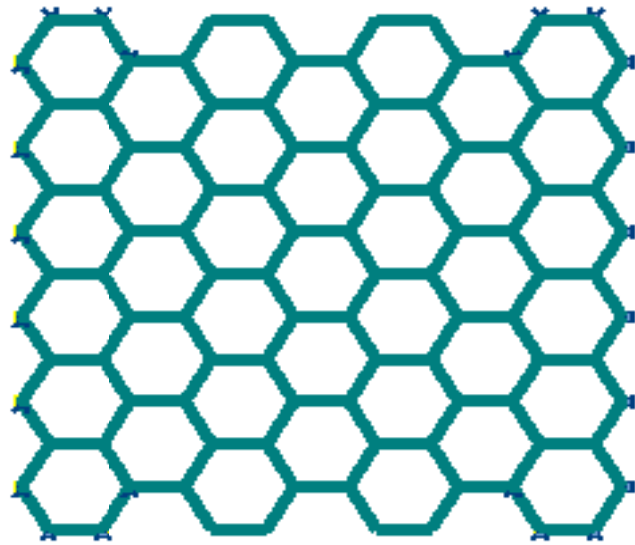
Przyjmując σ^{gr} (rozciąggnięcie wzduż osi x) dla dowolnego materiału (wzór jest uniwersalny) w żadnym przecie struktury nie jest przekroczona granica plastyczności R_e elementu belkowego,

dla stali $E = 205 GPa$, $G = 80.8 GPa$,

$$R_e = 215 MPa, \quad \sigma^{z \text{ programu Robot}} = 191.11 MPa$$

błąd oceny naprężenia granicznego otrzymanego z energetycznego kryterium J. Rychlewskiego jest

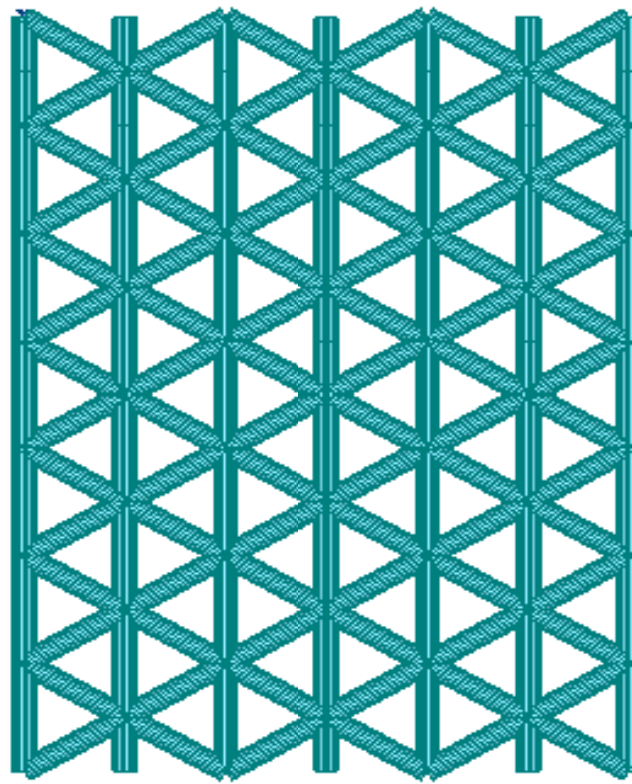
$$\text{równy: } \frac{R_e - \sigma^{z \text{ programu Robot}}}{R_e} 100\% = 11.1\%$$



Komórka w postaci pryzmy o podstawie sześciokąta foremnego

Wartość naprężenia granicznego w płaszczyźnie podstawy (x, y) przedstawia zależność:

$$\sigma^{gr} = \frac{2\sqrt{(\lambda_M \Phi_I^{gr} + \lambda_I \Phi_I^{gr}) \lambda_M \Phi_I^{gr}}}{\lambda_M \Phi_I^{gr} + \lambda_I \Phi_I^{gr}}$$



Przyjmując σ^{gr} (rozciągnięcie wzduż osi y) dla dowolnego materiału (wzór jest uniwersalny) naprężenia w prełach struktury są w przybliżeniu równe granicy plastyczności R_e elementu belkowego, dla stali $E = 205 GPa$, $G = 80.8 GPa$,

$$R_e = 215 MPa, \sigma^{z \text{ programu Robot}} = 230.90 MPa$$

błąd oceny naprężenia granicznego otrzymanego z energetycznego kryterium J. Rychlewskiego jest równy:

$$\frac{R_e - \sigma^{z \text{ programu Robot}}}{R_e} \cdot 100\% = -7.4\%$$

Minus oznacza, że kryterium J. Rychlewskiego w tym przypadku zawyża wartość naprężenia granicznego

- 61 -

POWIERZCHNIA GRANICZNA DLA SZEŚCIU ROZŁĄCZNYCH STANÓW WŁASNYCH MATERIAŁU ANIZOTROPOWEGO NA PRZYKŁADZIE TEKTURY

Wykorzystanie obliczonych gęstości granicznych energii sprężystych do energetycznego kryterium dla rozłącznych stanów własnych.

Omówienie realizacji na przykładzie : Y. A. Arramon et al., [2000]

$$2\lambda_A \Phi_T^{(A)} = (\sigma_T^{(A)})^2$$

$$\text{gęstości granicznych energii} \quad 2\lambda_A \Phi_C^{(A)} = (\sigma_C^{(A)})^2$$

postulowane kryterium:

- w przestrzeni stanów własnych $(\sigma^{(A)} - \sigma_T^{(A)})(\sigma^{(A)} - \sigma_C^{(A)}) = 0$

gdzie:

$$\sigma_T^{(A)} = \sigma_{\max}^{(A)}, \quad \sigma_C^{(A)} = \sigma_{\min}^{(A)},$$

$A = 1, \dots, K$ kolejny stan własny

- w przestrzeni naprężeń głównych $(\sigma^{(P)} - \sigma_T^{(P)})(\sigma^{(P)} - \sigma_C^{(P)}) = 0$

gdzie:

$$\begin{aligned} \sigma_T^{(P)} &= \sigma_{\max}^{(P)}, \quad \sigma_C^{(P)} = \sigma_{\min}^{(P)}, \\ \sigma^{(I)} &= \sigma_1, \quad \sigma^{(II)} = \sigma_2, \quad \sigma^{(III)} = \sigma_3 \end{aligned}$$

Wykorzystując dane doświadczalne dla materiału anizotropowego

$$E_1 = 3510 \text{ MPa}, E_2 = 3510 \text{ MPa}, E_3 = 6930 \text{ MPa}, V_{13} = 0.15,$$

$$\nu_{23} = 0.15, \nu_{12} = 0.3, G_{23} = 1700 \text{ MPa}, G_{13} = 1700 \text{ MPa}, G_{12} = 1500 \text{ MPa}$$

Tensor sztywności

$$\mathbf{S} = \begin{bmatrix} 4220 & 1520 & 1700 & 0 & 0 & 0 \\ 1520 & 4220 & 1700 & 0 & 0 & 0 \\ 1700 & 1700 & 7940 & 0 & 0 & 0 \\ 0 & 0 & 0 & 1700 & 0 & 0 \\ 0 & 0 & 0 & 0 & 1700 & 0 \\ 0 & 0 & 0 & 0 & 0 & 1500 \end{bmatrix} \text{ MPa}$$

Wektory własne

$$\boldsymbol{\omega}_1 = \begin{bmatrix} 0.382 \\ 0.382 \\ 0.841 \\ 0 \\ 0 \\ 0 \end{bmatrix}, \quad \boldsymbol{\omega}_2 = \begin{bmatrix} -0.594 \\ -0.594 \\ 0.54 \\ 0 \\ 0 \\ 0 \end{bmatrix}, \quad \boldsymbol{\omega}_3 = \begin{bmatrix} 0 \\ 0 \\ 0 \\ 0 \\ 0 \\ 0 \end{bmatrix}, \quad \boldsymbol{\omega}_4, \boldsymbol{\omega}_5, \boldsymbol{\omega}_6 \text{ pominięto}$$

Wartości własne

$$\lambda = \begin{bmatrix} 9480 \\ 4200 \\ 2700 \\ 1700 \\ 1700 \\ 1500 \end{bmatrix} \text{ MPa}$$

Powierzchnie graniczne dla rozłącznych stanów własnych opisują zależności;

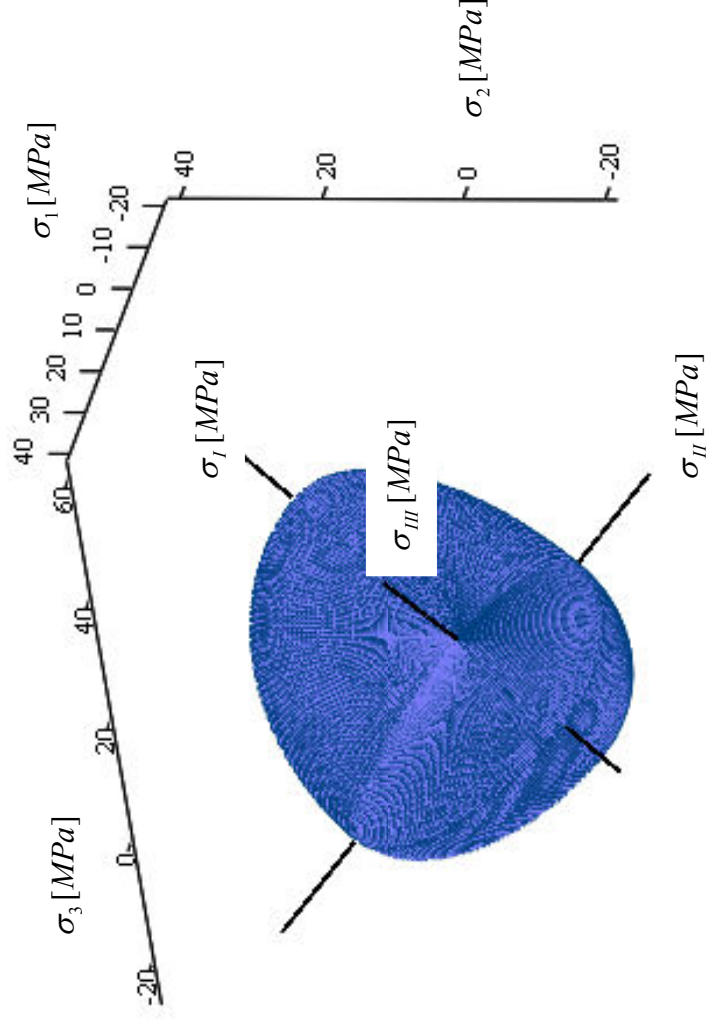
$$(0.382\sigma_1 + 0.382\sigma_2 + 0.841\sigma_3 - 47.1)(0.382\sigma_1 + 0.382\sigma_2 + 0.841\sigma_3 + 16.8) = 0$$

$$(0.595\sigma_1 + 0.595\sigma_2 - 0.54\sigma_3 - 18.1)(0.595\sigma_1 + 0.595\sigma_2 - 0.54\sigma_3 + 30.3) = 0$$

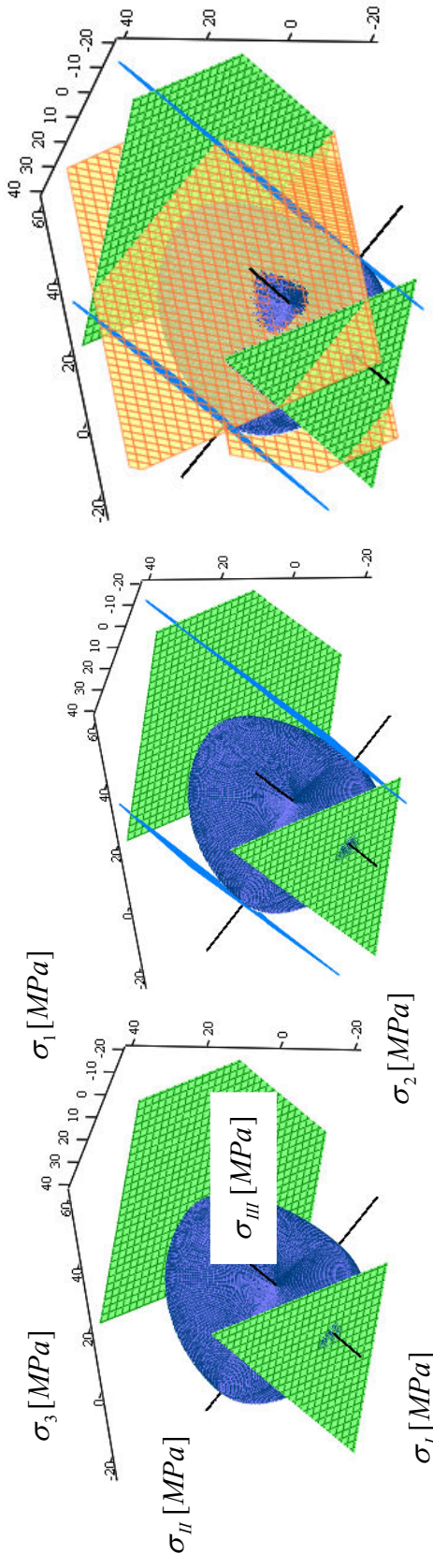
$$(0.707\sigma_1 - 0.707\sigma_2 - 21.6)(0.707\sigma_1 - 0.707\sigma_2 + 9.19) = 0$$

Powierzchnie graniczne na podstawie kryteriów:

- Granicznych energii dla sprzążonych stanów własnych

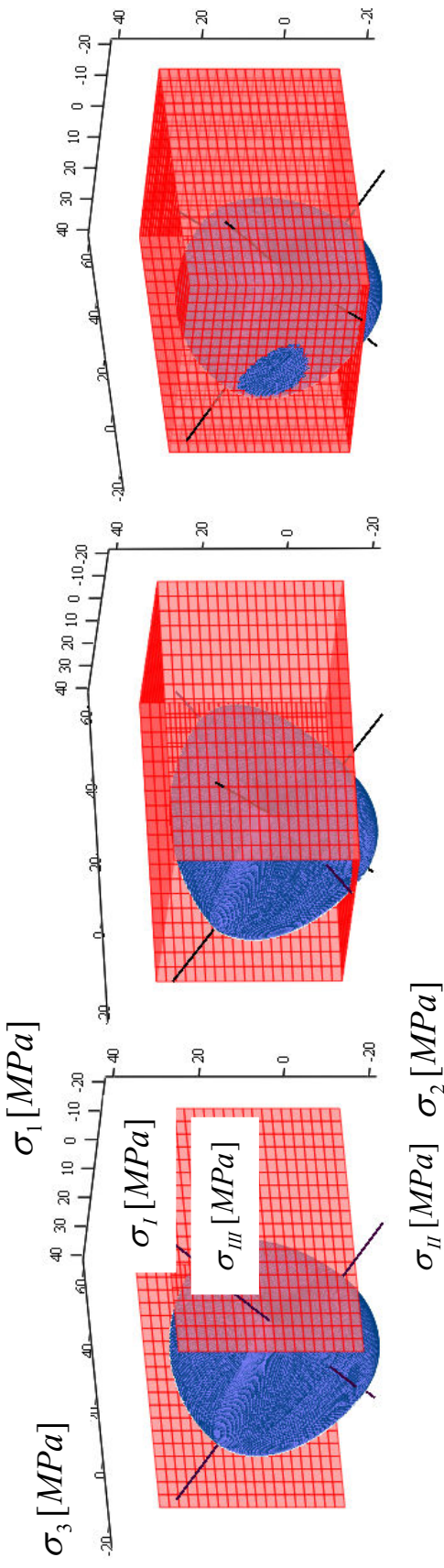


- Granicznych energii dla rozłącznych stanów własnych

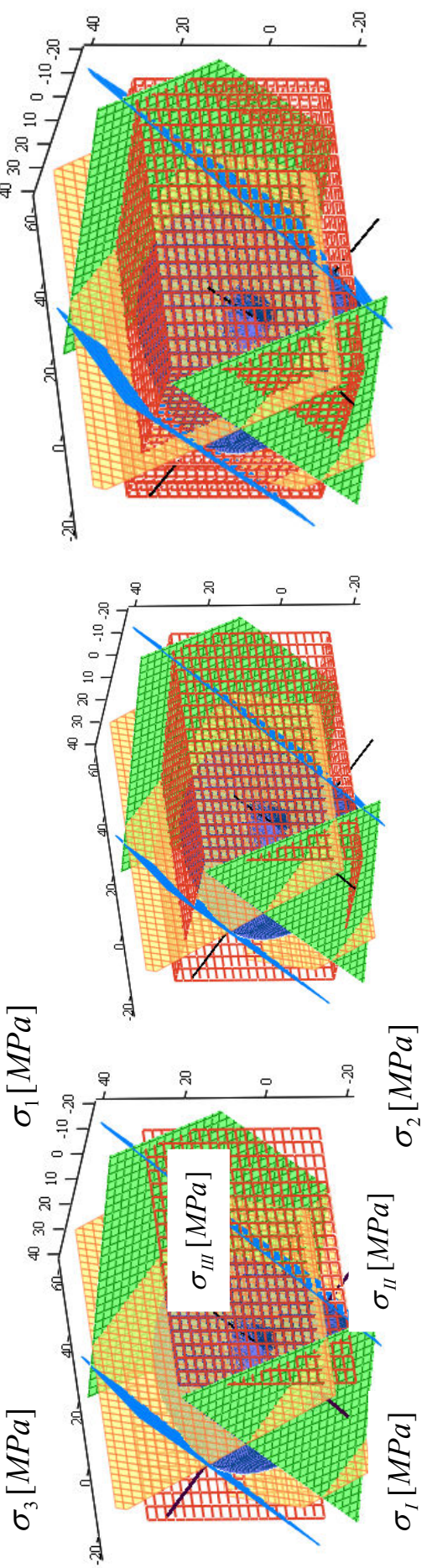


- Granicznych naprężen głównych

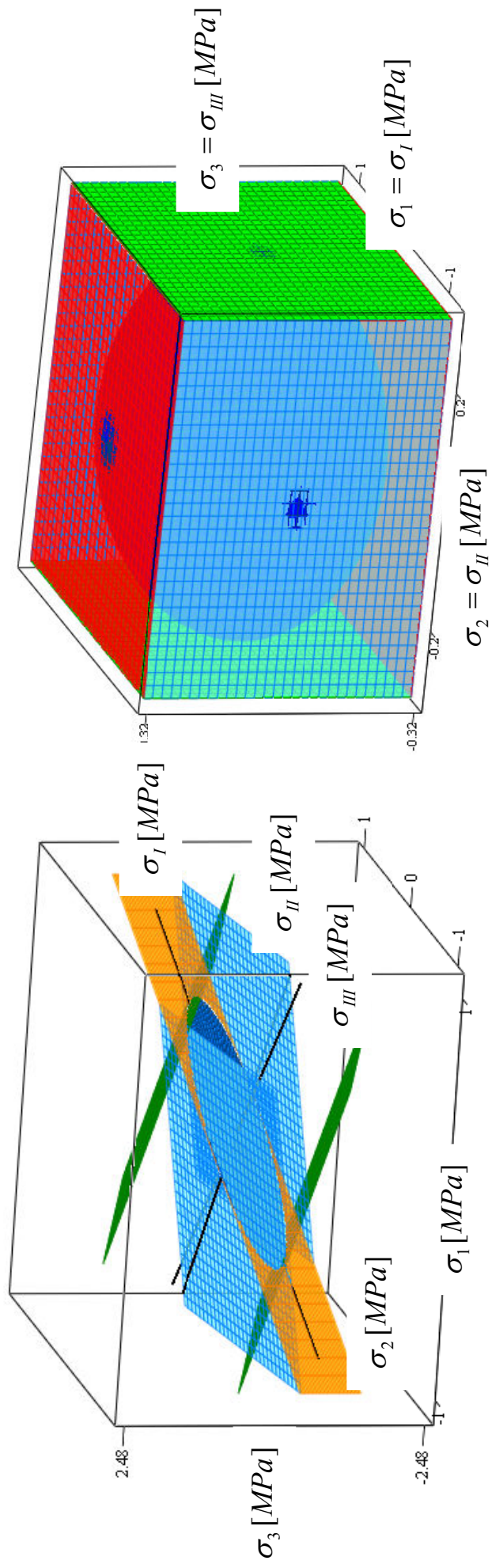
$\sigma_{1r} = 36 \text{ MPa}, \sigma_{1s} = 18 \text{ MPa}, \sigma_{2r} = 30.5 \text{ MPa}, \sigma_{2s} = 13 \text{ MPa}, \sigma_{3r} = 56 \text{ MPa}, \sigma_{3s} = 20 \text{ MPa}$



- Powierzchnia graniczna powstała w wyniku złożenia ww. kryteriów

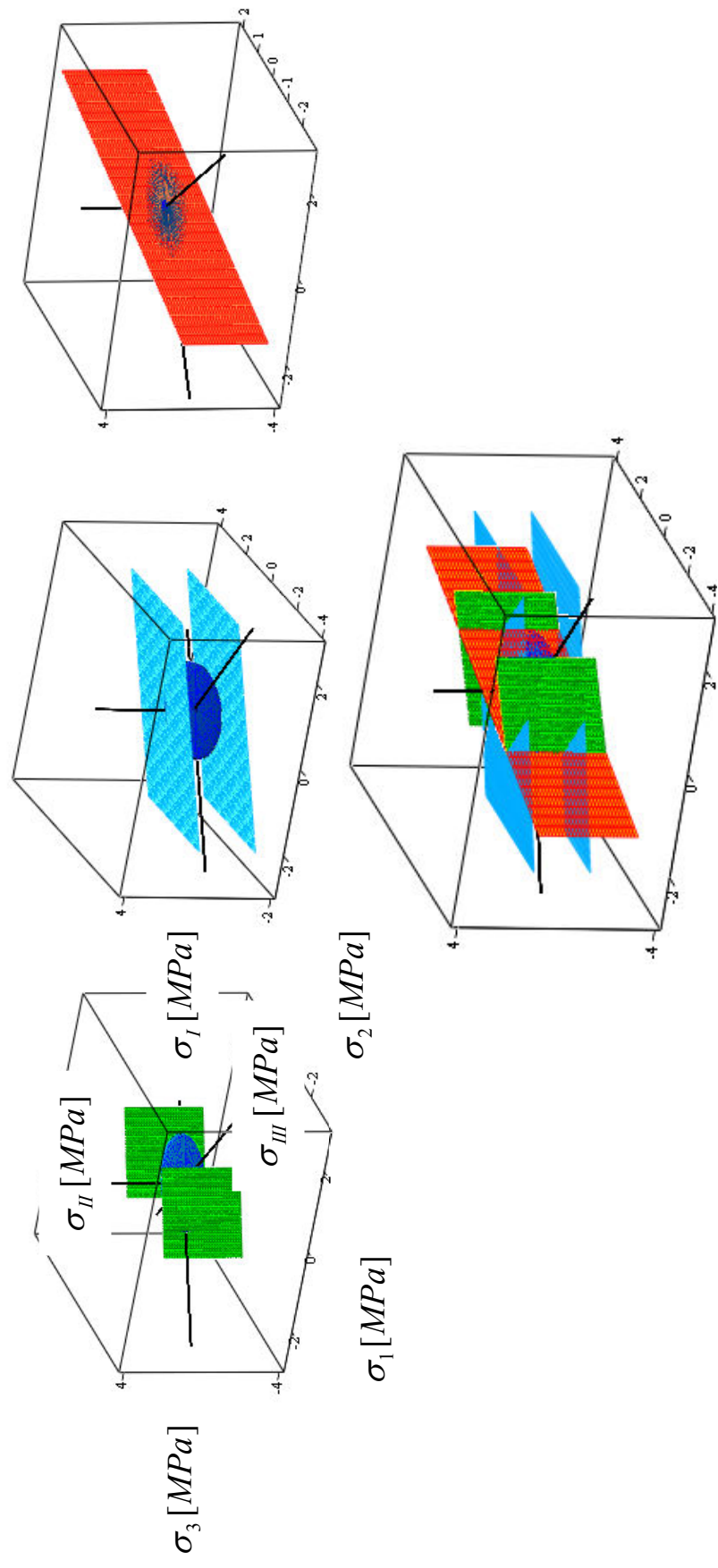


PORÓWNANIE POWIERZCHNI GRANICZNYCH W PRZESTRZENI NAPRĘŻEŃ GŁÓWNYCH

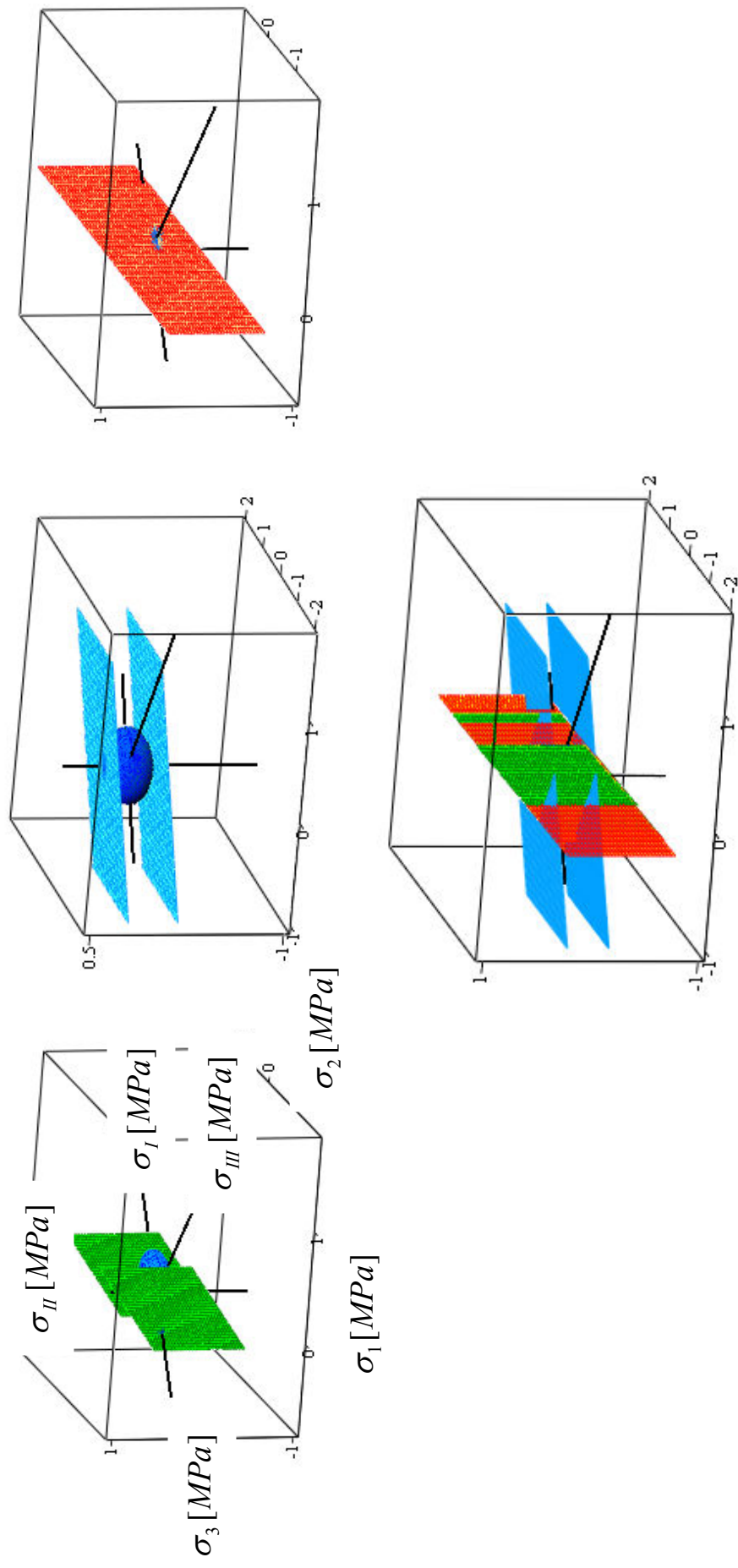


Komórka sześcienna
 $L = 2000 \mu m$, $d = 150 \mu m$

Komórka prostopadłościenna
 $L_{1-2} = 1000 \mu m$, $L_{3-4} = 4000 \mu m$, $H = 1000 \mu m$,
 $d = 120 \mu m$



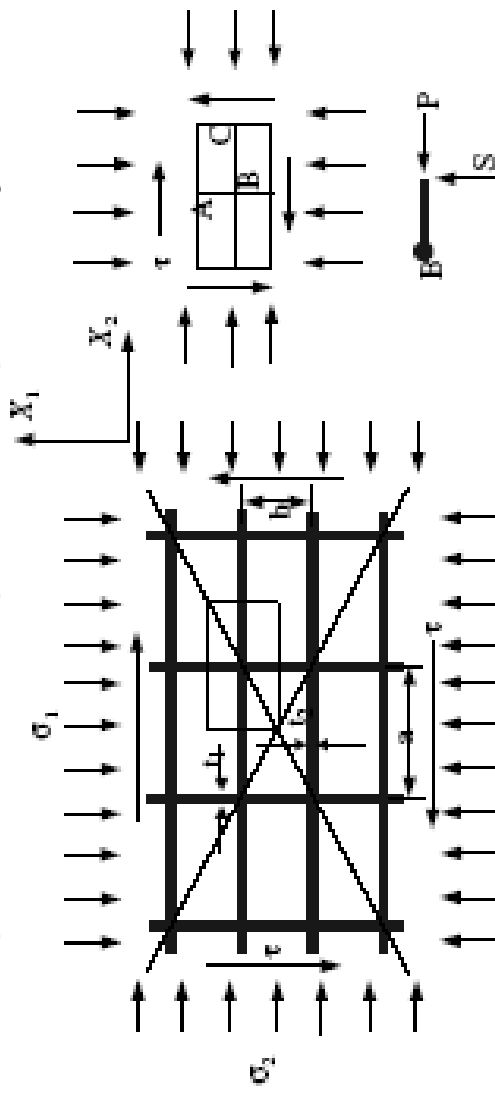
Komórka w postaci pryzmy o podstawie trójkąta równobocznego
 $L = 2000 \mu m$, $H = 2000 \mu m$, $d = 260 \mu m$



Komórka w postaci pryzmy o podstawie sześciokąta foremnego

$L = 2000 \mu m, H = 2000 \mu m, d = 87 \mu m$

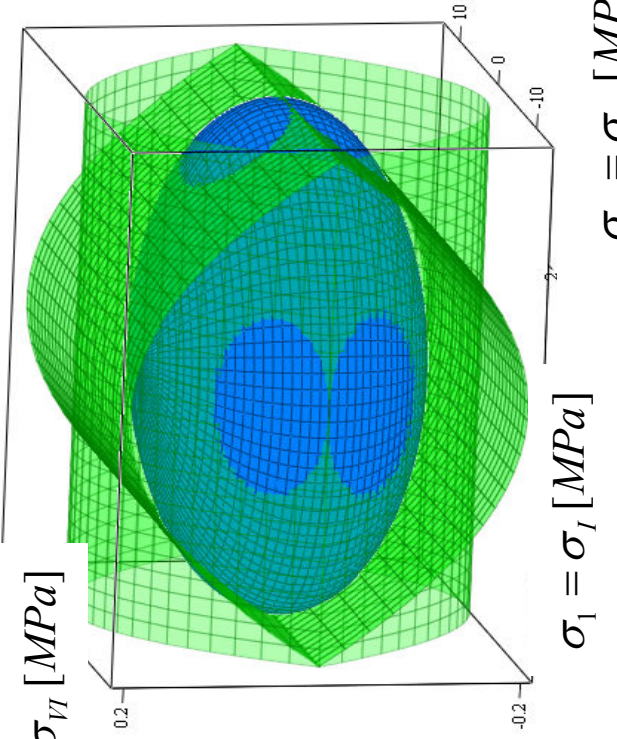
Model wg A. J. Wang, D. L. McDowell [2004]
dla plastra miodu o podstawie prostokąta:



Równanie powierzchni granicznej
wg A. J. Wang, D. L. McDowell [2004]:

$$\max \left\{ \left[\frac{b}{a} \left(\frac{\sigma_2}{\sigma_{ys}} \right)^2 + 2 \frac{|\tau|}{\sigma_{ys}} \right], \left[\frac{a}{b} \left(\frac{\sigma_1}{\sigma_{ys}} \right)^2 + 2 \frac{|\tau|}{\sigma_{ys}} - \frac{(t_1)^2}{ab} \right] \right\} = 0$$

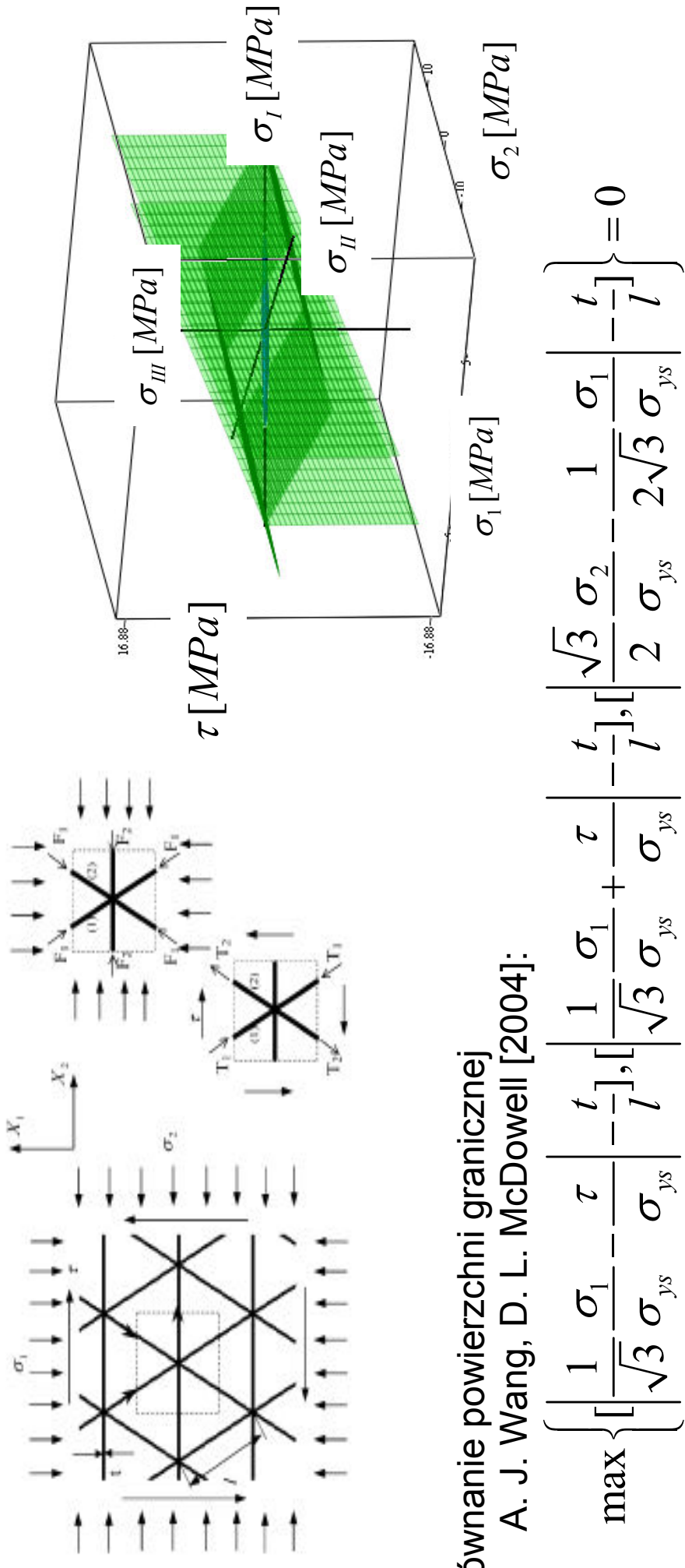
Powierzchnie graniczne dla stopu Cu–1% $E_s = 117 GPa$, $G_s = 45 GPa$, $R_e = 112 MPa$,
 $L_{1-2} = 1000 \mu m$, $L_{3-4} = 4000 \mu m$, $d = 120 \mu m$, pasmo o szerokości $H = 1000 \mu m$.



$$\sigma_2 = \sigma_{II} [MPa]$$

$$\sigma_1 = \sigma_I [MPa]$$

Model wg A. J. Wang, D. L. McDowell [2004]
dla plastra miodu o podstawie trójkata równobocznego:



Równanie powierzchni granicznej

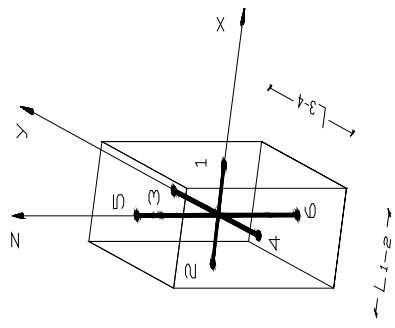
A. J. Wang, D. L. McDowell [2004]:

$$\max \left\{ \left| \frac{1}{\sqrt{3}} \frac{\sigma_1}{\sigma_{ys}} - \frac{\tau}{\sigma_{ys}} \right| - \frac{t}{L}, \left| \frac{1}{\sqrt{3}} \frac{\sigma_1}{\sigma_{ys}} + \frac{\tau}{\sigma_{ys}} \right| - \frac{t}{L} \right\} = 0$$

Do narysowania powierzchni granicznych wykorzystano charakterystyki materiałowe stopu Cu-1%Ni $E_s = 117 \text{ GPa}$, $G_s = 45 \text{ GPa}$, $R_e = 112 \text{ MPa}$, $L = 2000 \mu\text{m}$,
 $d = 87 \mu\text{m}$, pasmo o szerokości $H = 2000 \mu\text{m}$.

**BEZWYMIAROWE ZALEŻNOŚCI OKREŚLAJĄCE ROZKŁAD GĘSTOŚCI ENERGII
STANÓW GRANICZNYCH**

- 71 -



$$\frac{\Phi_I^{gr}}{\Phi_I^{gr} + \Phi_{II}^{gr} + \Phi_{III}^{gr} + \Phi_{IV}^{gr} + \Phi_V^{gr} + \Phi_{VI}^{gr}} = \frac{1.225 \cdot 10^{21}}{6.434 \cdot 10^{21} + 3.503 \cdot 10^{19} k^2 + 3.503 \cdot 10^{19} k^2 V}$$

$$\frac{\Phi_{II}^{gr}}{\Phi_I^{gr} + \Phi_{II}^{gr} + \Phi_{III}^{gr} + \Phi_{IV}^{gr} + \Phi_V^{gr} + \Phi_{VI}^{gr}} = \frac{2.083 \cdot 10^{21}}{6.434 \cdot 10^{21} + 3.503 \cdot 10^{19} k^2 + 3.503 \cdot 10^{19} k^2 V}$$

$$\frac{\Phi_{III}^{gr}}{\Phi_I^{gr} + \Phi_{II}^{gr} + \Phi_{III}^{gr} + \Phi_{IV}^{gr} + \Phi_V^{gr} + \Phi_{VI}^{gr}} = \frac{2.206 \cdot 10^{21}}{6.434 \cdot 10^{21} + 3.503 \cdot 10^{19} k^2 + 3.503 \cdot 10^{19} k^2 V}$$

$$\frac{\Phi_{IV}^{gr}}{\Phi_I^{gr} + \Phi_{II}^{gr} + \Phi_{III}^{gr} + \Phi_{IV}^{gr} + \Phi_V^{gr} + \Phi_{VI}^{gr}} = \frac{0.4166(8.580 \cdot 10^{20} + 2.243 \cdot 10^{19} k^2 + 2.243 \cdot 10^{19} k^2 V)}{6.434 \cdot 10^{21} + 3.503 \cdot 10^{19} k^2 + 3.503 \cdot 10^{19} k^2 V}$$

$$\frac{\Phi_V^{gr}}{\Phi_I^{gr} + \Phi_{II}^{gr} + \Phi_{III}^{gr} + \Phi_{IV}^{gr} + \Phi_V^{gr} + \Phi_{VI}^{gr}} = \frac{0.2007(1.425 \cdot 10^{21} + 6.333 \cdot 10^{19} k^2 + 6.333 \cdot 10^{19} k^2 V)}{6.434 \cdot 10^{21} + 3.503 \cdot 10^{19} k^2 + 3.503 \cdot 10^{19} k^2 V}$$

$$\frac{\Phi_{VI}^{gr}}{\Phi_I^{gr} + \Phi_{II}^{gr} + \Phi_{III}^{gr} + \Phi_{IV}^{gr} + \Phi_V^{gr} + \Phi_{VI}^{gr}} = \frac{4.499(6.128 \cdot 10^{19} + 2.884 \cdot 10^{18} k^2 + 2.884 \cdot 10^{18} k^2 V)}{6.434 \cdot 10^{21} + 3.503 \cdot 10^{19} k^2 + 3.503 \cdot 10^{19} k^2 V}$$

$$\frac{\Phi_I^{gr}}{\Phi_I^{gr} + \Phi_H^{gr} + \Phi_{II}^{gr} + \Phi_{III}^{gr}} = (444.4(k+10)^2(2.500 \cdot 10^{20} + 3.700 \cdot 10^{19}k^2 + 3.700 \cdot 10^{19}k^2V)) /$$

$$(6.312 \cdot 10^{23}k^3 + 3.846 \cdot 10^{24}k^2 + 4.183 \cdot 10^{24}k + 4.121 \cdot 10^{22}k^4V^2 + 2.239 \cdot 10^{25} +$$

$$+ 3.592 \cdot 10^{24}k^2V + 1.205 \cdot 10^{23}k^4V + 6.312 \cdot 10^{23}k^3V + 7.932 \cdot 10^{22}k^4 + 3.564 \cdot 10^{21}k^5V +$$

$$+ 8.910 \cdot 10^{19}k^6V^2 + 1.782 \cdot 10^{21}k^5V^2 + 1.782 \cdot 10^{20}k^6V + 9.910 \cdot 10^{19}k^6 + 1.782 \cdot 10^{21}k^5)$$

$$\frac{\Phi_H^{gr}}{\Phi_I^{gr} + \Phi_H^{gr} + \Phi_{II}^{gr} + \Phi_{III}^{gr}} = (360.4(k+10)^2(2.500 \cdot 10^{20} + 3.700 \cdot 10^{19}k^2 + 3.700 \cdot 10^{19}k^2V)) /$$

$$(6.312 \cdot 10^{23}k^3 + 3.846 \cdot 10^{24}k^2 + 4.183 \cdot 10^{24}k + 4.121 \cdot 10^{22}k^4V^2 + 2.239 \cdot 10^{25} +$$

$$+ 3.592 \cdot 10^{24}k^2V + 1.205 \cdot 10^{23}k^4V + 6.312 \cdot 10^{23}k^3V + 7.932 \cdot 10^{22}k^4 + 3.564 \cdot 10^{21}k^5V +$$

$$+ 8.910 \cdot 10^{19}k^6V^2 + 1.782 \cdot 10^{21}k^5V^2 + 1.782 \cdot 10^{20}k^6V + 8.910 \cdot 10^{19}k^6 + 1.782 \cdot 10^{21}k^5)$$

$$\frac{\Phi_{II}^{gr}}{\Phi_I^{gr} + \Phi_H^{gr} + \Phi_{II}^{gr} + \Phi_{III}^{gr}} = ((7857 + 1163k^2 + 1163k^2V) /$$

$$(1.877 \cdot 10^{20} + 3.341 \cdot 10^{19}k^2 + 2.778 \cdot 10^{19}k^2V)) /$$

$$(6.312 \cdot 10^{23}k^3 + 3.846 \cdot 10^{24}k^2 + 4.183 \cdot 10^{24}k + 4.121 \cdot 10^{22}k^4V^2 + 2.239 \cdot 10^{25} +$$

$$+ 3.592 \cdot 10^{24}k^2V + 1.205 \cdot 10^{23}k^4V + 6.312 \cdot 10^{23}k^3V + 7.932 \cdot 10^{22}k^4 + 3.564 \cdot 10^{21}k^5V +$$

$$+ 8.910 \cdot 10^{19}k^6V^2 + 1.782 \cdot 10^{21}k^5V^2 + 1.782 \cdot 10^{20}k^6V + 8.910 \cdot 10^{19}k^6 + 1.782 \cdot 10^{21}k^5)$$

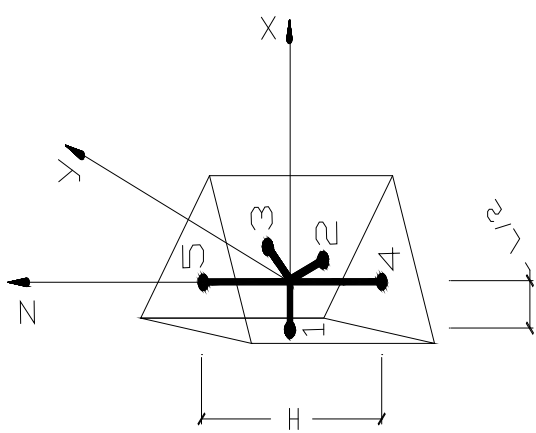
$$\frac{\Phi_{III}^{gr}}{\Phi_I^{gr} + \Phi_H^{gr} + \Phi_{II}^{gr} + \Phi_{III}^{gr}} = (1.287 \cdot 10^{-18}(k+10)^2(2.500 \cdot 10^{20} + 3.700 \cdot 10^{19}k^2 + 3.700 \cdot 10^{19}k^2V) /$$

$$(2.476 \cdot 10^{19} + 1.8711 \cdot 10^{18}k^2 + 1.871 \cdot 10^{18}k^2V)) /$$

$$(3.846 \cdot 10^{24}k^2 + 6.312 \cdot 10^{23}k^3 + 6.312 \cdot 10^{23}k^3V + 1.205 \cdot 10^{23}k^4V^2 + 4.121 \cdot 10^{22}k^4V^2 +$$

$$+ 7.932 \cdot 10^{22}k^4 + 1.782 \cdot 10^{21}k^5V^2 + 8.910 \cdot 10^{19}k^6V^2 + 3.564 \cdot 10^{21}k^5V + 1.782 \cdot 10^{20}k^6V +$$

$$+ 4.183 \cdot 10^{24}k + 2.239 \cdot 10^{25} + 3.592 \cdot 10^{24}k^2V + 1.782 \cdot 10^{21}k^5 + 8.910 \cdot 10^{19}k^6)$$



$$\frac{\Phi_I^{gr}}{\Phi_I^{gr} + \Phi_H^{gr} + \Phi_{III}^{gr} + \Phi_{IV}^{gr}} = (2.162 \cdot 10^{-17} (1.667 \cdot 10^{20} + 2.467 \cdot 10^{19} k^2 + 2.467 \cdot 10^{19} k^2 \nu + 5.000 \cdot 10^{19} k)^2) /$$

$$(4.379 \cdot 10^{23} k + 2.4566 \cdot 10^{22} k^4 \nu^2 + 6.552 \cdot 10^{22} k^3 + 4.165 \cdot 10^{23} k^2 + 5.256 \cdot 10^{22} k^4 \nu +$$

$$+ 6.552 \cdot 10^{22} k^3 \nu + 2.800 \cdot 10^{22} k^4 + 1.051 \cdot 10^{20} k^5 + 2.593 \cdot 10^{19} k^6 + 1.105 \cdot 10^{24} +$$

$$+ 3.283 \cdot 10^{23} k^2 \nu + 1.051 \cdot 10^{20} k^5 \nu^2 + 2.593 \cdot 10^{19} k^6 \nu^3 + 2.102 \cdot 10^{20} k^5 \nu + 7.779 \cdot 10^{19} k^6 \nu + 7.779 \cdot 10^{19} k^6 \nu)$$

$$\frac{\Phi_H^{gr}}{\Phi_I^{gr} + \Phi_H^{gr} + \Phi_{III}^{gr} + \Phi_{IV}^{gr}} = (3.896 \cdot 10^{-18} (1.667 \cdot 10^{20} + 2.467 \cdot 10^{19} k^2 + 2.467 \cdot 10^{19} k^2 \nu +$$

$$+ 5.000 \cdot 10^{19} k)^2) /$$

$$(4.379 \cdot 10^{23} k + 2.4566 \cdot 10^{22} k^4 \nu^2 + 6.552 \cdot 10^{22} k^3 + 4.165 \cdot 10^{23} k^2 + 5.256 \cdot 10^{22} k^4 \nu +$$

$$+ 6.552 \cdot 10^{22} k^3 \nu + 2.800 \cdot 10^{22} k^4 + 1.051 \cdot 10^{20} k^5 + 2.593 \cdot 10^{19} k^6 + 1.105 \cdot 10^{24} +$$

$$+ 3.283 \cdot 10^{23} k^2 \nu + 1.051 \cdot 10^{20} k^5 \nu^2 + 2.593 \cdot 10^{19} k^6 \nu^3 + 2.102 \cdot 10^{20} k^5 \nu +$$

$$+ 7.779 \cdot 10^{19} k^6 \nu^2 + 7.779 \cdot 10^{19} k^6 \nu)$$

$$\frac{\Phi_{III}^{gr}}{\Phi_I^{gr} + \Phi_H^{gr} + \Phi_{III}^{gr} + \Phi_{IV}^{gr}} = ((2252 + 3333.3k^2 + 3333.3k^2 \nu) /$$

$$(1.667 \cdot 10^{20} + 3.467 \cdot 10^{19} k^2 + 2.467 \cdot 10^{19} k^2 \nu)) /$$

$$(4.379 \cdot 10^{23} k + 2.4566 \cdot 10^{22} k^4 \nu^2 + 6.552 \cdot 10^{22} k^3 + 4.165 \cdot 10^{23} k^2 + 5.256 \cdot 10^{22} k^4 \nu +$$

$$+ 6.552 \cdot 10^{22} k^3 \nu + 2.800 \cdot 10^{22} k^4 + 1.051 \cdot 10^{20} k^5 + 2.593 \cdot 10^{19} k^6 + 1.105 \cdot 10^{24} +$$

$$+ 3.283 \cdot 10^{23} k^2 \nu + 1.051 \cdot 10^{20} k^5 \nu^2 + 2.593 \cdot 10^{19} k^6 \nu^3 + 2.102 \cdot 10^{20} k^5 \nu + 7.779 \cdot 10^{19} k^6 \nu^2 + 7.779 \cdot 10^{19} k^6 \nu)$$

$$\frac{\Phi_{IV}^{gr}}{\Phi_I^{gr} + \Phi_H^{gr} + \Phi_{III}^{gr} + \Phi_{IV}^{gr}} = ((7.559 \cdot 10^{-19} + 4.261 \cdot 10^{-20} k^2 + 4.261 \cdot 10^{-20} k^2 \nu) /$$

$$(1.667 \cdot 10^{20} + 2.467 \cdot 10^{19} k^2 + 2.467 \cdot 10^{19} k^2 \nu + 5.000 \cdot 10^{19} k)^2) /$$

$$(4.379 \cdot 10^{23} k + 2.4566 \cdot 10^{22} k^4 \nu^2 + 6.552 \cdot 10^{22} k^3 + 4.165 \cdot 10^{23} k^2 + 5.256 \cdot 10^{22} k^4 \nu +$$

$$+ 6.552 \cdot 10^{22} k^3 \nu + 2.800 \cdot 10^{22} k^4 + 1.051 \cdot 10^{20} k^5 + 2.593 \cdot 10^{19} k^6 + 1.105 \cdot 10^{24} +$$

$$+ 3.283 \cdot 10^{23} k^2 \nu + 1.051 \cdot 10^{20} k^5 \nu^2 + 2.593 \cdot 10^{19} k^6 \nu^3 + 2.102 \cdot 10^{20} k^5 \nu + 7.779 \cdot 10^{19} k^6 \nu^2 + 7.779 \cdot 10^{19} k^6 \nu)$$

